

K C₃ H₃



3056

1913

Calcagni and Marotta

J.Gazz.chim.ital.45 11, 368 (1913)

Li_2SO_4 , Na_2SO_4 , K_2SO_4 , $\text{K}_2\text{SO}_4 \cdot 2\text{MnSO}_4$

(Tm, Ttr)

Circ. 500 Be

F

1927

1913

NaCl; NaBr; KCl.MnCl₂; (Tm)

Sandonnini and Scarpa

3. Atto accad. nazl. Lincei. Classe
sci.fis.mat. e nat. 22 11, 163,
1913

Be

F

Circ. 500



1936

BP VI-2364

KMnO₄, MnO⁻₄ (aq)

(Cp, ΔFf, ΔSf, ΔFaq, ΔSaq, S°)

Brown O.L.J., Smith W.V.,
Latimer W.H.

J. Am. Chem. Soc. 1936, 58, 2144-6.

The heat capacity...

W, Be, F CA, 1937, 937⁹

1939
α
VI-2363

Re_2O_7 , KReO_4 , (Δ Hf)

KReO_4 , KMnO_4 (Δ Hag)

Roth W.A., Becker G.

Z. physik. Chem. 1932, A159, 27-39

Physical chemistry of rhenium.

Est/F.

W, M

CA, 1932, 3152

1940

1905

$\text{Na}_4\text{P}_2\text{O}_7 \cdot 10\text{H}_2\text{O}$; KLiPO_4 ; $\text{K}_2\text{Cr}_2\text{O}_7$, H_2O ;
 KInO_4 ; K_2CrO_4 ; $\text{K}_2\text{Cr}_2\text{O}_7$; $\text{cr}, \text{s}, 4 \text{ H}_2\text{O}$

Perrou

16. Chem. 211, 182, 1940

W.M.

Circ. 500



1952

1657-X-BP

Rb_2MnF_6 , K_2MnF_6 (Ftr)
Structure

Bodo Lieg, Gerdt Lie

Z. anorg. u. allgem. Chem., 1952,
269, 165-72

Structure of ...

err q.K

F

Be



C.A. 1953, 26270

Mn

K_2MnO_4

$MnO_{1,80}$

- $MnO_{1,75}$

Wolfsberg, Basaltzug im 1954
Scholter R., Waterstradt H.
Z. anorgan. und allgem. Chem.,
1954, 317, N° 3-4, 172-180.

Illepiusrecker pseudosceum
massamariae Rauh.

X-56-3-6530.

1957

1474

K₂MnO₄ (Hf)

Hill R.A.W., Williamson J.F.

J.Chem.Soc., 1957, May, 2417-

2419

A determination of the ...

PX., 1957, 73861



M

1960

KMnO₄ (ΔH_{aq} , ΔS_{aq}),

VI-1721

K₂MoO₄ (ΔH_{aq} , ΔH_f), KClO₃ (ΔH_{aq} , ΔS_{aq}),

NaClO₃ (ΔH_{aq}), Na₂CrO₄ (ΔH_{aq} , ΔH_f), MnO⁻₄ (S),

Na₂Cr₂O₇ (ΔH)

Nelson T., Moss Co, Hepler L.G.

J. Phys. Chem., 1960, 64, N₃, 376-77.

Thermochemistry of potassium permanganate,
potassium molybdate, potassium chlorate,
sodium chromate and sodium dichromate.

RX., 1960, 9557.1 Ja, W.

Est/F.

1960

1476 - χ - BT

KMnF₃ (Ttr)

Shulman R.G., Knox K.
Phys. Rev., 1960, 119, N 1, 94-101

Nuclear magnetic ...

Be

eefb q.k.
F

PX., 1961, 146265

1475 - X - BV

1961

KMnF₃ (Ttr)

Beckman O., Knox K.

Phys. Rev., 1961, 121, N 2, 376-380

Magnetic properties of ...

eeft p.K

PX., 1961, 175170

Be

F

K.MnF₃

Белиев И.Н.,
Ребусса О. Я.

[БП 181-Х]

1962

С. Физ.-хим. анализ колл-
бок системе, 1962, 77

Tm

Тройное системе с
однородной спариваем

(ал. LiMnF₃) I

VI 1967

1963

Mir Cl₂-KCl, Mir Cl₂ /30C), Mirz [K]

Bruylants Sl., Ziolkiewicz S., Morandi G.

C. Z. Acad sci., 1963, 257, v. 23, 3591-3594.

8 cm of face.

PME X, 1964,

225363.

M, B.

1963
 $KMnF_3$

2 Б361. Теплоемкость $KMnF_3$. Rao R. V. G.,
Das C. D., Keeg H. V., Biswas A. B. The
heat capacities of potassium manganese trifluoride.
«Proc. Phys. Soc.», 1963, 81, № 1, 191—192 (англ.)

Измерена теплоемкость $KMnF_3$ при 78—300° К.
В температурной зависимости теплоемкости обнаружено два максимума: первый — при т-ре $84,3 \pm 0,2^\circ$ К; второй — при т-ре $179,5 \pm 0,2^\circ$ К. Первый максимум связан с антиферромагнитным переходом и соответствует максимуму в температурной зависимости магнитной восприимчивости при т-ре 88° К, наблюдавшемуся ранее (РЖХим, 1962, 8Б156). Второй максимум связан с изменением структуры $KMnF_3$, также наблюдавшимся ранее (РЖХим, 1961, 17Б170).

Н. Попов

X. 1964. 2

1963

KMnF₃

P78-300K

Heat capacities of potassium manganese trifluoride. R. V. G. Rao, C. D. Das, H. V. Keer, and A. B. Biswas (Natl. Chem. Lab., Poona, India). *Proc. Phys. Soc. (London)* 81, -Pt. 1, No. 519, 191-2(1963). The heat capacity (C_p) of KMnF₃ was measured at 78-300°K. Two transitions were found, one anti-ferromagnetic at $84.3 \pm 0.2^\circ\text{K}$. and the other structural at $179.5 \pm 0.2^\circ\text{K}$.

David Goland

C.P. 1963-58-10

9681fg

Bp - 3166 - VII

1961

K. M. D.

Schwochau K.

"Angew. Chemie"

T. g. cb. fa

1964, 76, VI, 9-19

VII - 5765

1965

MgCl₂, CsCl, RbCl, KCl, NaCl, Cs₂MgCl₄,
Cs₃MgCl₅, хлориды натрия, Na, K, Rb, Cs.
(ΔH_g, ΔH_f)

Ehrlich P., Koknat F. W., Seifert H.-J.,
Z. anorgau. und allgem. Chem.,
1965, 341, 281-286

PREX, 1966, 215524

B, II
ееръ оръ

1965

KillnOy

6 Б687. Термогравиметрическое и рентгенографическое исследование процесса разложения и продуктов разложения перманганата калия. Leyko Jadwiga, Maciejewski Marek. Termograwimetryczne i rentgenograficzne badania procesu rozkładu i produktów rozkładu—nadmanganianu potasowego. «Roczn. chem.», 1965, 39, № 5, 669—679 (польск.; рез. русск., англ.)

рекомендации

Методами ТГА и ДТА установлено, что термолиз KMnO_4 (I) начинается при 180° , протекает в основном при 270 — 280° и завершается около 300° . При 300 — 600° постепенно отщепляют кислород продукты первичного разложения I. При 620 — 700° протекает второе значительное уменьшение веса препарата I, соотв-ее 3-й ста-

РЖХ, 1966,

дии выделения кислорода. При 700—1050° вес остатка I не меняется. Р-ция разложения I при 260—280° экзотермична. Процесс, сопряженный с потерей веса при 620—720°, эндотермичен. Путем сравнения с термограммами MnO_2 , рентгенографич. методом и методом хим. анализа установлено, что разложение I протекает первоначально по схеме: $10KMnO_4 = 3K_2MnO_4 + 2K_2O \cdot 7MnO_2 + 6O_2$.

Б. Каплан

KMnCl₃ (T_{tr}, T_m), NaMnCl₅ (T_{tr}) 1965
KCl/MnCl₂ (T_m), NaCl, NaMnCl₅ (T_m) " VII - 5540

Seifert H.J., Kornat F.W.

Z. anorg. und allgem. Chem., 1965, 341, N6,
269-280 (Haus.)

Über die Systeme KCl/MnCl₂ und NaCl/MnCl₂
sowie die Strukturverhältnisse der Alkalichloro-
manganiate (III)

Pfaffenhausen, 1967
56743

ERB CP.Y. B GB

К. Ильин

ВФ6402-X

1965

U 6 Б605. О теплотах образования твердых хлорокомплексов марганца, железа, кобальта, меди и цинка. Шукарев С. А., Василькова И. В., Барвцюк Г. М. «Вестн. Ленингр. ун-та», № 16, 1965, 145—147

Получены $KMnCl_3$, $KFeCl_3$, K_2FeCl_4 и K_2ZnCl_4 и определены энталпии р-рения их в воде, а также вычислены энталпии образования указанных комплексов. Приведен график зависимости энталпии образования от формы координац. полиэдра комплекса.

В. Ш.

+2

РЖХ, 1966,

KMnF₃

(C_p)

22 Б536. Теплоемкость KMnF₃. Deenadas C., Ke-
st H. V., Rao R. V. Gorata, Biswas A. B. Heat
capacity of potassium manganese trifluoride. «Brit. J.
Appl. Phys.», 1966, 17, № 11, 1401—1404 (англ.)

Измерена теплоемкость C_p KMnF₃ в интервале т-р от 80 до 298,15° К; сглаженные значения C_p , а также вычисленные $S_T - S_0$, $H_T - H_0$ и $-(C_T - H_0)/T$ приведены в таблице (шаг 20°). При 298,15° эти величины соответственно равны: 27,50 кал/моль·град; 38,02 энтр. ед., 5399 кал/моль и 19,92 кал/моль·град. Обнаружены две аномалии в C_p ; одна из них, с резким максимумом при 83,3° К связана с антиферромагнитным упорядочением ионов ниже этой т-ры, а вторая, представляющая собою сравнительно небольшой размытый «горб» при 179,0° К — с изменением кристаллич. структуры. Ниже 80° К C_p KMnF₃ представлена комбинацией ф-ций Дебая и Эйнштейна: $C_p = D(97/T) + 2E(225/T) + 2E(568/T)$, эксперим. данные в интервале 120—170° К согласуются с вычисленными по этому ур-нию в пределах 1—2%. В. Колесов

1966

1966
1966
1966
1966

2.1967.22

KMnF₃

B9-X-5867

1966

6171d Heat capacity of potassium manganese trifluoride.
C. Deenadas, H. V. Keer, R. V. Gopala Rao, and A. B. Biswas
(Natl. Chem. Lab., Poona, India). *Brit. J. Appl. Phys.* 17(II),
1401-4(1966)(Eng). The heat capacity of potassium manganese
trifluoride was reported at 80-300°K. Two anomalies were
observed, one at 83.3°K. and the other at 179°K. The transi-
tion at 83.3°K. is attributed to an antiferromagnetic ordering of
the Mn ions below this temp. The 2nd transition, at 179.0°K.
is a small hump assoed. with a crystal structural change. The
heat capacity below 80°K. is caled. using a Debye-Einstein type
of function. The thermodynamic functions such as entropy,
enthalpy, and free energy were evaluated at 20°K. intervals at
80-300°K. The values of C_p , $S_T - S_0$, $H_T - H_0$ and $-(G_T - H_0)/T$ are 27.5 cal./mole-degree, 38.02 cal./mole-degree, 5399
cal./mole and 19.92 cal./mole-degree, resp., at 298.15°K.

RCCJ

C.A. 1964: 66-2

Kellnitz

L. M. Karp

Tm?

Baueb U. H.

1966

Pebanev O. et.

" M. neopisau. Хуцхсаа,

1966, 11, №, 1446-50

(Ceu. Na-Mn) I

КЛНОУ

1966

13 Б410. Кристаллографическое и химическое исследование продуктов термического разложения перманганата калия. Herbstein F. H., Locker L. D. Crystallographic and chemical study of the products of thermal decomposition of potassium permanganate. «Israel J. Chem.», 1966, 4, № 1а, 1 (англ.)

Проведено рентгенографич. исследование продуктов термич. разложения KMnO_4 (I) при т-рах 250—1170° (метод порошка, высокот-рная камера). Показано, что р-ция разложения при 250° $2 \text{ I} \rightarrow \text{K}_2\text{MnO}_4 + \text{MnO}_2$ (II) + O_2 не точна. Обнаружено, что II содержит 11,7 вес.% К. Найдено, что при нагревании на воздухе при 450° кристаллизуется соединение, изоструктурное с криптомеланом $\text{KMnO}_8\text{O}_{16}$, но с меньшим в 2 раза содержанием К. При 1170° образуется гаусманит Mn_3O_4 . В отсутствие паров H_2O кристаллизуется $\delta\text{-MnO}_2$ (рентгенограмма не индцирована). Продукты разложения I исследованы с помощью ДТА, термогравиметрич. и хим. анализов.

Л. Демьянец

Х. 1967. 13

KMnF₃

RbMnF₃

1966

89105w Specific heat of KMnF₃ and RbMnF₃. Hugh Montgomery (At. Energy Res. Estab., Harwell, Engl.). *Ann. Acad. Sci. Fenn.*, Ser. A VI No. 210, 214-17(1966)(Eng). The specific heats of KMnF₃ (I) and RbMnF₃ (II) were measured as a function of temp. The data (in mj./mole-°K.) obtained in the absence of a magnetic field are described by $C_I = 26.4 T^{-2} + 0.310 T^3$ and $C_{II} = 27.7 T^{-2} + 0.334 T^3$. The 1st term is the hyperfine sp. heat of the ⁵⁵Mn nuclei and the 2nd term is the sum of the lattice and antiferromagnetic spin wave sp. heats. The failure to detect any systematic deviation from the above equation indicates that the spin wave energy gap due to anisotropy lies well below 1°K. The calcns. of the expectation values of the spin on any 1 sub-lattice for I and II disagree with spin wave

+1

C.A. 1967-66-20

☒

theory (Oguchi, *Phys. Rev.* 117(1), 117-23(1960)). The sp. heats of I and II only increased slightly in a magnetic field of 14 kilogauss. The data could not be fitted to a polynomial in the temp. as above and there appears to be an anomalous contribution which rises to a broad max. at $\sim 2^{\circ}\text{K}$. This behavior is attributed to a low concn. ($\sim 10^{-2}\%$) of magnetic impurities which produce a Schottky type sp. heat in an applied field.

J. W. Pyper

K₂[Mn(OH)₄]·7

БР - VII - 356 1966

23 Б812. Растворимость ионов двух- и трехвалентного марганца в концентрированных растворах щелочей.
Kozawa A., Kalpoki-Kis T., Yeager J. F. Solubilities of Mn(II) and Mn(III) ions in concentrated alkaline solutions. «J. Electrochem Soc.», 1966, 113, № 5, 405—409 (англ.)

Кард. Полярографическим методом определена р-римость ионов Mn²⁺ (MnSO₄) в 3—13,5 и 3—19M водн. р-рах KOH и NaOH соотв. при 23; 50 и 70°, а также р-римость ионов Mn³⁺ (окисление Mn²⁺, добавленного в виде MnSO₄, до Mn³⁺ кислородом или электрохим. методом на Pt-электроле) в 5—13,5 M водн. р-ре KOH при 23°.

X. 1966. 23

Установлено, что с ростом конц-ии KOH или NaOH
р-римость Mn²⁺ экспоненциально возрастает вследствие
образования отрицательно заряженных комплексных
ионов по р-ции Mn(OH)₂+n OH⁻=Mn(OH)_{2+n}ⁿ⁻. Найдено,
что в 5—12M р-рах KOH преимущественно обра-
зуется ион Mn(OH)₄²⁻; термодинамич. константа образо-
вания K₂[Mn(OH)₄] оценена равной 1,6·10⁻⁷ при 23°.
Теплота р-рения Mn²⁺ в 9M KOH равна ~6,7 ккал.

A. C.

$KMnF_3$

1966

6 E592. Теплоемкость $KMnF_3$ и $RbMnF_3$. Montgo-
мери H. Specific heat of $KMnF_3$ and $RbMnF_3$. «Suoma-
lais. tiedeakat. toimituks.», 1966, Sar. AVI, № 210, 214—
217 (англ.)

В области гелиевых т-р ($1—4^{\circ}K$) измерены тепло-
емкости C монокристалла $KMnF_3$ и поликристаллич. об-
разца $RbMnF_3$ в отсутствие магн. поля и в поле ~ 14 кэ.
У обеих солей C содержит сверхтонкий ядерный член
и второй член, представляющий сумму решеточной и
спиноволновой теплоемкостей. Магн. поле вызывает ма-
лое увеличение C .

A. Кикоин

G_p

ω: 1967: 68

17

1966

 $KMnO_4$ K_2MnO_4 K_3MnO_4

10B54. Термическое разложение $KMnO_4$, K_2MnO_4 и K_3MnO_4 . Peters H., Radeke K.-H., Till L. Über das thermische Verhalten von Kaliummanganat (V), -(VI) und -(VII). «Z. anorgan. und allgem. Chem.», 1966, 346, № 1—2, 1—11 (нем.; рез. англ.)

Методом ДТА и ТГА в атмосфере кислорода и азота исследовано термич. разложение $KMnO_4$, K_2MnO_4 и K_3MnO_4 . Показано, что K_3MnO_4 термически устойчив до 800° , а если получено вещество высокой чистоты, то оно может существовать без химического разложения вплоть до 1100° . K_2MnO_4 при нагревании до 640 — 680° превращается в K_3MnO_4 и Mn_2O_3 ; эта реакция обратима. $KMnO_4$ разлагается при т-ре 220 — 240° с образованием K_2MnO_4 , K_3MnO_4 и MnO_2 , причем эти продукты в свою очередь при нагревании претерпевают превращение. Приведены некоторые результаты по термическому разложению чистых окислов марганца. По резюме авторов

(4-2)

x. 1967. 10

KillnO4

B9-487-1X

1966

Schroeder R.A.
etal.

(K₂)

Z. Inorg. and Nucl.

Chem; 1966, 28 N6-7

● 1397-1409

K MuD₃

Кирсанов С. А.

1987

Ворсик А. Н.

Менажор чисто речной зооп.
растений и пропаравод.,
бум. 16, д., 21-26

Марракинор чисто речной зо-
ологией
(на K MuD₃)

1967

К МнO₄

6 Б465. Кристаллическая структура - перманганата калия. Palenik Gus J. Crystal structure of potassium permanganate. «Inorgan. Chem.», 1967, 6, № 3, 503—507 (англ.)

Кристалл.
Структура

Для объективного установления изменений в длинах связей Mn-O в магнанат-, перманганат- и гипомагнанат-ионах и выяснения влияния разрыхляющих электронов на форму и размеры MnO₄-тетраэдра в этих ионах, и в связи с недостаточной точностью ранее проведенных определений структуры KMnO₄ (I, см. РЖХим, 1958, № 9, 27692) предпринято новое рентгеноструктурное исследование I (автоматич. дифрактометр, λ Mo с

Х. 1968. 6

Zг-фильтром, 561 ненулевых отражений). Кристаллы ромбич., a 9,105, b 5,720, c 7,425 Å, ρ (изм.) 2,703, $Z=4$, ф. гр. $Pnma$, «молекула» на плоскости m . Структура расшифрована на основании изоструктурности I с $HClO_4 \cdot H_2O$ и уточнена методом наименьших квадратов в анизотропном приближении до $R=0,046$. Структура построена из почти правильных тетраэдрических анионов MnO_4^- (средний угол $O-Mn-O$ 109,4°) и катионов K^+ . Средняя длина связи $Mn-O$ (с поправкой на либрационные колебания) составляет 1,629 Å, т. е. больше ранее найденной в этой структуре (1,59 и 1,54 Å соответственно). Координационный полигэдр K — искаженная архимедова антипризма (расстояния $K-O$ 2,773—3,005 Å). Величины наиболее коротких межионных контактов ($K \dots O$ 2,62—3,20 и $O \dots O$ 3,060—3,143 Å) подтверждают предположения, что упаковка в кристалле, в основном, определяется анионами MnO_4^- .

В. Андрианов

1967

*K₂MnO₄**известная
структура*

6 Б464. Кристаллическая структура манганата калия.
 Paley G. J. Crystal structure of potassium manganese. «Inorgan. Chem.», 1967, 6, № 3, 507—511 (англ.)

Определена кристаллическая структура манганата калия K_2MnO_4 (I) (автоматич. дифрактометр, λMo с Zr -фильтром, 687 иенуловых отражений). Кристаллы ромбич., a 7,667, b 5,895, c 10,359 Å, ϕ (изм.), 2,778, $Z=4$, ф. гр. $Pnma$, «молекула» на плоскости t . Структура расшифрована на основании изоструктурности I с $\beta\text{-}K_2SO_4$, уточнена методом наименьших квадратов в анизотропном приближении до $R=0,058$. Структура построена из практически правильных тетраэдров MnO_4^{2-} (средний угол

X. 1968 · 6

O—Mn—O $109,5^\circ$) и ионов K⁺. Средняя длина связи Mn—O 1,659 Å (с поправкой на либрационные колебания) увеличена по сравнению с найденной в KMnO₄ (1,629 Å), что находится в полном соответствии с электронной структурой I. Один из атомов K окружен 6 атомами O на расстояниях меньших 2,9 Å, которые образуют искаженный октаэдр. Его координация дополняется еще тремя атомами O, находящимися на более далеких расстояниях. Другой атом K имеет десятерную координацию (1+4+5), причем только один атом O располагается на расстоянии <2,9 Å (2,690 Å). В. Андрианов

BP-X-407 1967

$K_2 MnO_4$

100364k) Formation enthalpies of potassium manganate(V and VI). Peters, Horst; Tappe, Eberhard (Deut. Akad. Wiss. Berlin, Berlin, Ger.). *Monatsber. Deut. Akad. Wiss. Berlin* 1967, 9(9-10), 684-91 (Ger). Formation enthalpies of K_2MnO_4 and K_3MnO_4 were detd. by using a Bunsen calorimeter filled with Ph_2O . An indirect method was used in which the manganates were reduced with $K_2C_2O_4$ in the presence of aq. H_2SO_4 to give Mn(I). The differences of the formation enthalpies ΔH_f , (K_2MnO_4) - ΔH_f , ($KMnO_4$) and ΔH_f , (K_3MnO_4) - ΔH_f , ($KMnO_4$) were -80.6 and -136.1 kcal./mole, resp. From the literature value for $-\Delta H_f$, ($KMnO_4$), the values for the heats of formation $-\Delta H_f$, (K_2MnO_4) and $-\Delta H_f$, (K_3MnO_4) were calcd. as 275.0 ± 2 and 330.5 ± 2 kcal./mole, resp., at $298.15^{\circ}K$. FDJG

ΔH_f

C.A. 1969.

70. 22

БР-Х-4078

1967

K_2MnO_4

K_3MnO_4

K_2MnO_4

15 Б836. Энталпии образования манганатов калия (5+) и (6+). Peters H., Tarpe E. Bildungsenthalpien der Kaliummanganate-(V) und-(VI). «Monatsber. Dtsch. Akad. Wiss. Berlin», 1967, 9, № 9-10, 684—691 (нем.)

В калориметре определены энталпии образования кристаллич. манганатов калия; K_2MnO_4 (I) и K_3MnO_4 (II), путем ступенчатого восстановления $KMnO_4$ (III) оксалатом калия. Для разности энталпий образования ΔH° (обр., I)— ΔH° (обр., III) и ΔH° (обр., II)— ΔH° (обр., III) было найдено —80,6 и —136,1 ккал/моль, соотв. Комбинируя полученные величины с лит. данными, для энталпий образования найдены следующие величины для I и II при 298,15° К —275,0±2 ккал/моль и —330,5±2 ккал/моль, соответственно.

И. Ушакова

Х. 1969.

15

X-3968 Kult 3 (Tm)
Bericht R.R. Pekka O. R.,

M. Hepp. Mamm., 1968, 13(10), 2860-3.

Theromys leucopus (Oreocercus diapratus (ii))

- sp. n. - sp. n. - sp. n. - sp. n.

Theromys sp. - sp. n. - sp. n. - sp. n. (ii)

- sp. n. Name: Y

b. 5 d. 1969.70.12.31042

1968

NaMgF₃KMgF₃KMnF₃T_m

+2

99406a Growth of ABF₃-type single crystals with the perovskite structure. B. V. Beznosikov and N. V. Beznosikova (Inst. Fiz., Krasnoyarsk, USSR). *Kristallografiya* 13(1), 188-9(1968) (Russ). NaMgF₃, KMgF₃, and KMnF₃ crystals were grown in graphite crucibles by the Bridgman method. The crystn. process consisted of 2 stages. The NaMgF₃ crystals (m.p. 1030°) were grown at a max. melt temp. of 1130°, the temp. gradient at the crystn. front being 115 degrees/cm. During rapid cooling in the region of the lower phase transition, the crystal split along the (100) cleavage planes, which are the planes of the cubic high-temp. phase. The KMgF₃ crystals (m.p. 1090°) were grown at a max. melt temp. of 1150°, the temp. gradient at the crystn. front being 100 degrees/cm. The crystals

C.A. 1968-68-22



have a (100) cleavage plane. The KMnF_3 crystals were grown at a max. melt temp. of 1100° , the temp. gradient in the crystn. zone being 56 degrees/cm. The crystals were pink, which is due to the presence of higher valency Mn. The KMnF_3 melt can easily be supercooled during crystn. The m.p. of these crystals was 1013° , (100) again being the cleavage plane. By x-ray anal., the crystals grown have a perovskite-type structure. The lattice parameters obtained agree well with the literature data.

S. A. Mersol

БГУ-3990-8 1968

KMnF₃

12 Б738. Теплоемкость KMnF₃ и K₂MnF₄ ниже 1°К.

Colpa J. H. P., Chang K. H., Obbema F. P. D.
Heat capacity of KMnF₃ and K₂MnF₄ below 1°К. «Phys.
Letters», 1968, A 27, № 6, 380—381 (англ.)

Экспериментальное определение сверхтонкой теплоем-
кости ядер Mn⁵⁵ в KMnF₃ (кубич. антиферромагнетик)
и K₂MnF₄ (слоистый антиферромагнетик) показало, что
различие в мольной теплоемкости отсутствует. Резюме

Ср

X. 1969. 12

BP-3990-X 1968

KMnF₃

K₂MnF₄

(C_p)

41428j Heat capacity of KMnF₃ and K₂MnF₄ below 1°K.
Colpa, J. H. P.; Chang, K. H.; Obbema, F. P. D. (Univ. Amsterdam, Amsterdam, Neth.). *Phys. Lett.*, A 1968, 27(6), 380-1 (Eng). The hyperfine sp. heat of the ⁵⁵Mn nuclei in KMnF₃ (a cubic antiferromagnet) and in K₂MnF₄ (a layer-type antiferromagnet) were studied. No differences between the molar heat capacities were found at < 1°K. for the 2 antiferromagnets, suggesting the absence of zero-point spin redn., in contrast to the neutron diffraction studies of B. O. Loopstra, et al. (1968), which indicated a spin redn. of ~9% in K₂MnF₄.

DYJN

C.A.1969.70.10

Б99 - 3990 - V

1868

K Mn F
K₂ Mn F₃

(Cp)

) 5 E554. Теплоемкость KMnF₃ и K₂MnF₄ ниже 1° К.
Colpa J. H. P., Chang K. H., Obbengra F. P. D.
Heat capacity of KMnF₃ and K₂MnF₄ below 1° K. «Phys.
Letters», 1968, A 27, № 6, 380—381 (англ.)

С целью обнаружить предсказываемое спин-волн. теорией уменьшение спина при $T=0$ измерены теплоемкости антиферромагн. соединений KMnF₃ и K₂MnF₄, имеющих соответственно кубич. и слоистую структуры. Ядерные теплоемкости у обоих соединений оказались одинаковыми, что свидетельствует об отсутствии ожидавшегося эффекта.

А. К. Киконин

сп. лн. об} сп. ксф.

до 10°К

никакого

Б9. 1969

58

KMnCl₃·2H₂O

LBP X-3986

1968

3 E605. Удельная теплоемкость антиферромагнитного
KMnCl₃·2H₂O. Forst at H., Mc Earney J. N.,
Bailey P. T. Specific heat of antiferromagnetic KMnCl₃·
·2H₂O. «Phys. Letters», 1968, A 27, № 8, 549—550 (англ.)
Изучение уд. теплоемкости монокристалла KMnCl₃·
·2H₂O в области т-р 1,0—6,8° К обнаруживает магн.
переход указанного в-ва в антиферромагн. состояние
при $2,70 \pm 0,01$ ° К. При 1,6° К наблюдается также не-
большая аномалия, обусловленная магн. примесями.
Вычисленное значение намагниченности подрешеток
сравнивается с выводами теории молекулярного поля и
полуклассич. статистич. модели.

Резюме

Ф. 1969. 38

B9P X-3986

1968

KMnCl₃.2H₂O

(7138e) Specific heat of antiferromagnetic potassium tri-chloromanganate(II) dihydrate. Forstat, H.; McElearney,

J. N.; Bailey, P. T. (Michigan State Univ., East Lansing,
Mich.). Phys. Lett., A 1968, 27(8), 549-50 (Eng). Sp. heat

measurements of a single crystal of KMnCl₃.2H₂O at 1.0-6.8°K. reveal the onset of antiferromagnetic ordering at 2.7 ± 0.01 °K.

A secondary peak at 1.6°K. is attributed to the presence of MnCl₂.4H₂O. The entropy change assocd. with the primary transition is 3.58 e.u. as compared with 3.56 e.u. calcd. for a spin 5/2 Mn²⁺. The sublattice magnetization was calcd. from the temp. dependence of the sp. heat below the transition temp. and compared to mol. field theory and a semiclassical statistical model. Neither of the models appear to agree with the exptl. results

William J. James

Gp

C.A. 1969. 70. 2

K MnF
3

B9 - I - 457ep

1969

(16326h) Phase transition induced infrared activity of zone boundary phonons in KMnF₃. Baltes, H. P.; Kneubuehl, F. K. (Eidgenoess. Tech. Hochsch., Zurich, Switz.). *Phys. Lett. A* 1969, 30(2), 98-9 (Eng). The 184°K phase transition in KMnF₃ is studied on the basis of a model involving a vol. decrease of the 1st Brillouin zone. One- and two-phonon processes may become ir active below the transition temp. by virtue of addnl. zone center phonons. The model is supported by new evidence from the temp. dependent ir reflection spectrum. M. Mannheimer

C.A. 1970, 72, 4

KMn_{0.8}Co_{0.2}F₃
= 0.8 0.2

BP X-3986

1969

(60295s) Antiferroelectricity in cobalt-doped potassium manganese fluoride. Buyers, William J. L.; Cowley, Roger A.; Paul, G. L. (At. Energ. Canada Ltd., Chalk River, Ont.). *J. Phys. Soc. Jap.*, Suppl. 1969 (Pub. 1970), 28, 242-4 (Eng). Similarly as in KMnF₃, KMn_{0.8}Co_{0.2}F₃ exhibits an antiferromagnetic transition resulting from an instability in the Γ_2 phonon mode. The behavior of this mode is reasonably well described by a simple harmonic oscillator even when the mode becomes overdamped as it occurs near the phase transition. The parameters of this oscillator are given for KMnF₃, K(Mn,Co)F₃, and KCoF₃. The transition temp. to the antiferroelectric phase of KMn_{0.8}Co_{0.2}F₃ is 166.5 ± 0.5°K, i.e. much lower than that of KMnF₃ (184°K).

BGJN

No of. cat Suppl H.01

65417.28 sec. sec.

C.J. 1970

73.12

1969

KuNi₂O₆

Brown J. D.

крист.
структур

Canad. J. Chem.,

1969, 47, N^o20, 3779.

(Cu. Na Ni₂O₆)I

K-Mn-C-кореексер 1969
Кореекова Н.В. и др.

ΔH ;
 ΔG ;

Н. Греек. Хореексер,

Петербург, 1969, 42, 4,

939.

(Cu. Mn-C-) I
карид.

K Mn F

BP-4413-X

1969

48474 Phase transition in KMnF₃. Reshchikova, L. M.; Zinel'ko, V. I.; Aleksandrov, K. S. (Inst. Fiz., Krasnoyarsk, USSR). *Fiz. Tverd. Tela* 1969, II(12), 3448-54 (Russ). For the perovskite KMnF₃, a group theory investigation was carried out of the phase transition $O_h^1 \rightleftharpoons D_{2h}^{16}$ with quadrupling of the no. of atoms in the unit cell. The phase transition can be described by 2 parameters, η and ξ , and is related to the losses of stability of the crystal only over 1 group of the degrees of freedom η . Participation of the parameter ξ is detd. by the presence in the decompn. of the thermodynamic potential ϕ of the mixt. invariant of the type $\eta^2\xi$. Parameters of the transition have different temp. dependences, viz. $\eta = \Delta T^{\nu/2}$, $\xi \sim \Delta T$, where $\Delta T = \theta - T$ and θ is the transition temp. Starting from the explicit form of ϕ , calcn. was carried out of the variation of the phys. properties

T_{tr}

C.A. 1970

72.10

of the crystal in the region of the transition. The heat capacity, thermal expansion, and elastic properties of the crystal allowed the evaluation of the magnitude of the coeffs. of decompn. of ϕ . Exptl. data are given for the variation of absorption of ultrasound α for various elastic waves in the region of the transition. The obtained temp. dependences of α and of the variations of the velocity $\Delta v \sim \Delta T^{-1/2}$ in the high temp. phase agree well with those foretold by the macroscopic theory of Levaniuk.

A. Libackyi

ВФ 4413-X

1969

11 Б1360. Исследование фазового перехода в KMnF_3 .
Рещикова Л. М., Зинченко В. И., Александров К. С. «Физ. твердого тела», 1969, II, № 12,
3448—3454

Для кристалла KMnF_3 (структуре перовскита) методом теории групп проведено исследование фазового перехода $O\ 1/h \rightleftharpoons D\ 16/2\ h$ с учетом числа атомов в элементарной ячейке. Показано, что переход описывается двумя параметрами η и ξ и связан с потерей устойчивости кристалла лишь по одной группе степеней свободы η . Участие второго параметра ξ определяется присутствием в разложении термодинамич. потенциала Φ смешанного инварианта типа $\eta^2\xi$. Параметры перехода имеют разные температурные зависимости $\eta \sim \Delta T^{1/2}$, $\xi \sim \Delta T$, где $\Delta T = \Theta - T$ и Θ темпера перехода. Исходя из явной формы Φ проведен расчет изменений физ. свойств кристалла в области перехода.

Резюме

KMnF₃

T_c

X. 1970. 11

1969

Фториды

KM_xCo_{1-x}F₃

11 Б1362. Структурные превращения фторидов выше и ниже температуры Нееля. Винник М. А., Селезнева Л. Н. «Кристаллография», 1969, № 6, 14, 1068—1070

Методом низкот-рной рентгенографии изучены структурные превращения фторидов KM_xCo_{1-x}F₃ выше и ниже т-ры Нееля. Показано, что тв. р-ры фторидов с $x=0,19-0,67$ в интервале т-р 78—293° К сохраняют кубич. структуру, в то время как составы с $x<0,19$ превращаются при т-рах 120—135° К из кубич. модификации в тетрагональную, а с $x>0,67$ при т-рах 100—185° К — в тетрагон. и моноклинную. Автореферат

X. 1970. 11

KMnF₃

BP 5247 - BP

1970

26365a Infrared active mode and phonon dispersion in potassium manganese fluoride. Baltes, H. P.; Kneubuehl, Fritz K. (Lab. Festkorperphys., Eidgenoess Tech. Hochsch., Zurich, Switz.). *Helv. Phys. Acta* 1970, 43(5), 486-7 (Eng). The phase transition of KMnF₃ resulting from a soft R_{25} phonon at the corner of the 1st Brillouin zone was obsd. at 184°. The 261-cm⁻¹ band disappears at this temp. and is, therefore, assigned to the normal phonon mode $R_{25}' - F_{2g}$. Construction of curves for phonon dispersion in the 1,1,1, direction using this assignment agree with exptl. obtained curves.

E. J. Duff

C.A. 1971.74.6

$KMn_{0.3}Co_{0.2}F_3$ (T_{dc}) 10 X 4957 1970.

Burgess W. J. L. Cowley R.A. Paul G.L.
J. Phys. Soc. Jap., Suppl. 1969 (Pub. 1970)
28; 242-4.

Audiforoelectricity in cobalt-doped
potassium managanese fluoride.

5

6



1970

CA/1970/23, J12, 602358

15 В30. Исследование взаимодействия хлорида марганца (II) с трехзамещенными ортофосфатами калия и натрия. Голоцапов М. В., Мартыненко Б. В., Торгашин Ю. Т. «Ж. неорган. химии», 1970, 15, № 3, 670—673

1970

MnKPO₄

MnNaPO₄

Изучено взаимодействие р-ров $MnCl_2$ с 3-замещенными ортофосфатами калия и натрия. Получены путем обмена в р-ре две смешанные соли состава $MnKPO_4 \cdot H_2O$ и $MnNaPO_4 \cdot 2H_2O$. Изучено термич. поведение полученных солей и определены их т-ры плавления, к-рые соотв. равны 1275 и 1025°.

Резюме

T_m

ВР 4405-X

+1

X. 1970. 15



MnKPO₄

H₂O

B.P. 440.5 - X

1970

MnNaPO₄ 2H₂O

136970 Reaction of manganese(II) chloride with tripotassium and trisodium orthophosphates. Goloshchapov, M. V.; Martynenko, B. V.; Torgashin, Yu. T. (Voronezh. Gos. Pedagog. Inst., Voronezh, USSR). *Zh. Neorg. Khim.* 1970, 15(3), 670-3 (Russ). MnCl₂-M₃PO₄-H₂O (M = K or Na) systems were studied at 25° by solv., and by pH and elec. cond. detns. of aq. solns. The solids were investigated thermogravimetrically. The systems form MnKPO₄.H₂O (m. 1275°) and MnNaPO₄.2-H₂O (m. 1025°), resp.

HMJR

T_m

C.A. 1970.72.26

K.MnF₃

6 Б924. Высокочувствительный простой калориметр
для определения фазовых переходов. Nigakawa Kins-
hiro, Furukawa Minoru. A high-sensitive, simple
calorimeter for phase-change detection. «Jap. J. Appl.
Phys.», 1970, 9, № 8, 971—975 (англ.)

Для изучения фазовых переходов KMnF₃ (I), KNiF₃
(II), KDP (III) и KNaC₄H₄O₆ (IV) применён высокочув-
ствительный калориметр, позволяющий проводить изме-
рения от коми. т-р до т-ры жидк. Не. В калориметре об-
разец с термопарой помещен в пенопласт (ПП). Основ-
ными преимуществами контейнера из ПП являются: а) хо-
рошие термоизоляц. св-ва ПП особенно при низких т-рах
и б) возможность полностью пренебречь теплоемкостью
ПП. Чувствительность калориметра настолько высока, что
размеры исследуемых образцов не превышают 2 см³. В
результате исследования показано, что I имеет фазовый
переход 1-го рода вблизи 186,6°К, а II — фазовый пере-
ход 2-го рода в точке Кюри. Обнаружены аномалии теп-
лоемкости III и IV.

Л. Рожновская

T_{tr}

ВП + 1 степень

070.6

5745г

+1

общий

+1

RNiF₃

☒

X. 1971. 6

KMnF₃

T_c = 184 K

BP - N ~ 4740

1970

9 E447. Рассеяние рентгеновых лучей и фазовое превращение KMnF₃ при 184° K. Minkiewicz V. J., Fujii Yasuhiko, Yamada Yasusada. X-ray scattering and the phase transition of KMnF₃ at 184 K. «J. Phys. Soc. Jap.», 1970, 28, № 2, 443—450 (англ.)

Проведено детальное изучение рассеяния рентгеновых лучей KMnF₃ вблизи фазового превращения, происходящего при T_c = 184° K. Уточнена структура KMnF₃ (точечная группа I4/mcm (D_{4h}^{18})), а не Pbnm (D_{2h}^{16}), как предполагалось ранее).

95. 1970. 98

K MnO₄

K₂MnO₄

K₃MnO₄

Ср

ВФ-5290-X

1870

6 Е936. Энталпии, молярные теплоемкости, энтропии мanganатов калия $KMnO_4$, K_2MnO_4 и K_3MnO_4 в области температур 273—500° К Peters H. Muscheites K. Enthalpien, Molwärmen und Entropien der Kaliummanganate $KMnO_4$, K_2MnO_4 und K_3MnO_4 im Temperaturbereich 273—500° K. «Monatsh. Dtsch. Akad. Wiss. Berlin», 1970, 12, № 6—7, 485—494 (нем.)

При т-рах 353, 383, 413 и 443° К с помощью калориметра смешения измерено теплосодержание K_3MnO_4 , K_2MnO_4 и $KMnO_4$. В области т-р 273,15—500° К вычислены температурные зависимости (через 20°) молярных энталпий, теплоемкостей и энтропий. Точность вычисления энталпии 2%, теплоемкости 4%, энтропии 3%. Температурные зависимости теплосодержаний в-в выражены аналитически в виде квадратичных полиномов. С. Ф. Шушурин

9. 1971.

68

K-Mn

B9-5290-X

1980

H-H

68508e Enthalpies, molar heats, and entropies of potassium permanganate, potassium manganate(VI), and potassium manganese(V) at 273-500°K. Peters, Horst; Muscheites, K. (Zentralinst. Phys. Chem., Dtsch. Akad. Wiss., Berlin, Ger.). *Monatsber. Deut. Akad. Wiss. Berlin* 1970, 12(6-7), 485-94 (Ger). The enthalpy differences ($\Delta H_T - \Delta H_{298.15}$) (T = abs. temp.) were detd. calorimetrically for KMnO₄, K₂MnO₄, and K₃MnO₄, and from these values the molar heats and entropies were detd. at 273-500°K.

CJJG

C.A.1981.F4.14

1970

K MnF₃

6 E539. Изучение с помпью рассеяния нейtronов фазовых переходов в KMnF₃, связанных с изменением динамики решетки. Shirane G., Minkiewicz V. J., Linz A. Neutron scattering study of the lattice dynamical phase transitions in KMnF₃. «Solid-State Commun», 1970, 8, № 23, 1941—1944 (англ.; рез. рус., нем.)

Эксперименты по рассеянию нейtronов используются для определения типа кристаллографич. фазовых переходов (ФП) в KMnF₃, а также для изучения динамики решетки вблизи т-р равновесия фаз. ФП, происходящий при т-ре 91,5° К (1) является переходом 1-го рода, сопровождается температурным гистерезисом и не связан с магн. превращением. ФП при 186,6° К является очень слабо выраженным ФП 1-го рода. Найдено, что вблизи т-р начала ФП 1 и ФП 2 происходит уменьшение частот фононов (моды M_3 и Γ_{25} соответственно), что является характерным для ФП 2-го рода. И. М. Разумовский

T_{tr}

09.1971. 68

KMnCl₃

1970

9 Б813. Диаграмма плавкости системы MnCl₂—NaCl и MnCl₂—KCl. Яковлева Р. Н., Кожина И. И., Кривоусова И. В., Василькова И. В. «Вестн. Ленингр. ун-та», 1970, № 16, 87—92 (рез. англ.)

Термографическим и рентгеновским методами изучено взаимодействие MnCl₂ с хлоридами Na и K и найдены составы соединений: KMnCl₃, K₃Mn₂Cl₇, K₂MnCl₄, Na₂MnCl₄, NaMnCl₃, NaMn₂Cl₅. Установлено, что соединение NaMnCl₃ изоморфно KMnCl₃ и определены размеры его элементарной ячейки: *a* 9,69; *c* 9,60±0,01 Å.

Из резюме

X: 1971. 9

71



KMnF₃

SrTiO₃

B95-3552-IX

1971

5 Б1091. Фазовые переходы типа смещения в пе-
 ровскитах. Александров К. С., Зиценко В. И.,
Рещикова Л. М., Безносиков Б. В., Поздня-
кова Л. А. «Изв. АН СССР. Сер. физ.», 1971, 35,
 № 9, 1820—1824

Изучены нек-рые физ. св-ва кристаллов KMnF₃ (I) и
SrTiO₃ (II) в области фазовых переходов при 188 и
 110°К соотв. Рентгеновскими исследованиями подтвер-
 ждена принадлежность кристалла I к ф. гр. D_{4h}^{18} .
 Изучена т-рная зависимость параметра перехода I. Ус-
 тановлено, что фазовые переходы в кристаллах I и II

T_{t2}

71-

☒

X-1972. 5

являются переходами типа смещения; в обоих случаях осуществляется переход $O_h^1 \rightleftharpoons D_{4h}^{18} (Z=4)$, однако в I все изменения физ. св-в выражены значительно сильнее, чем в II. Найдена т-рная зависимость скорости и поглощения сдвиговой упругой волны в кристалле II в области перехода. Проведено термодинамич. описание переходов в кристаллах I и II на основе единого термодинамич. потенциала. Вычислены отношения коэф. разложения термодинамич. потенциала для I и II. Проведена аналогия переходов типа смещения в I и II с сегнетоэлектрич. фазовыми переходами в перовскитах.

С. И. Копейкин

155689d Displacement-type phase transitions in perovskites.
Aleksandrov, K. S.; Zinenko, V. I.; Reshchikova, L. M.; Bez-
nosikov, B. V.; Pozdnyakova, L. A. (Inst. Fiz., Krasnoyarsk,
USSR). *Izv. Akad. Nauk SSSR, Ser. Fiz.* 1971, 35(9), 1820-4
(Russ). Some phys. properties of crystals of $KMnF_3$ and $SrTiO_3$
are crit. discussed. The results of R. O. Bell and G. Rup-
SrTiO₃ precht (1963) are extended here by measuring the temp. depen-
dence of the velocity and the absorption of the elastic shear wave
propagating in the (110) direction with the displacement along
(110) in $SrTiO_3$ near the phase transition region: The temp.
dependence of intensity of the (211) superstructure reflections is
given for $KMnF_3$, and the calcd. value $\beta = 0.49$ does not agree
with the conclusions of V. J. Minkiewicz, et al. (1970). The
phase transitions at 189° ($KMnF_3$) and $110^\circ K$ $SrTiO_3$ are of the
displacement type related to the presence of a vibrational soft
mode of the type Γ_{2g} , corresponding to the point $(111)\pi/a$ of the
Brillouin zone. In both cases the transition $O_h^1 \rightleftharpoons D_{4h}^{1g}$ ($Z = 4$)
takes place. The changes of phys. properties are more marked
for $KMnF_3$ than for $SrTiO_3$.
K. Volka

C.A 1971. 75. 26

K₄MnCl₆

BP-Г-6580

1971

○ 23 Б792. Магнитные фазовые переходы четырех двойных хлоридов марганца. Blöte H. W. J., Huis-kamp W. J. Magnetic phase transitions in four manganese double chlorides. «Physica», 1971, 53, № 3, 445—470
(англ.)

В т-рной области 0,05—3° К измерена теплоемкость и магнитная восприимчивость Cs_3MnCl_5 , $Cs_2MnCl_4 \cdot 2H_2O$, K_4MnCl_6 и переохлажденного α - Cs_2MnCl_4 . В кач-ве датчиков т-ры использовались термометры восприимчивости из парамагнитных кристаллов Ce—Mg-нитрата и Co—Cs-сульфата. Кривые т-рных зависимостей теплоемкостей

(Си. максимум)
(Cs-Mn)

X. 1971.23



имеют острые максимумы, соотв-щие магнитным фазовым переходам из парамагнитного в антиферромагнитное упорядоченное состояние. Т-ры Нееля составили $T_N = -0,601; 1,81; 0,439$ и $0,935 \text{ К} \pm 0,5\%$, соотв. У K_4MnCl_6 наблюдался 2-й пик при $0,332^\circ \text{ К}$. Значения теплоемкостей и энтропий табулированы. Обсуждается характер взаимодействия ионов в решетке, оценены приращения магнитной энергии E/R , высокот-рные теплоемкости $C_h T^2/R$, константы Кюри—Вейсса Θ и параметры обменного взаимодействия.

Резюме

Cs_3MnCl_5 , $Cs_2MnCl_4 \cdot 2H_2O$, (c) 1971
 K_4MnCl_6 , a- Cs_2MnCl_4 (p) 25792
Blote H.W.J., Huiskamp W.Y.,
J. Phys. (Paris), Colloq, 1971, N°1
(Pt. 2), Cl, 1005-# (cont.)

Heat capacity of four manganese
double chlorides.

6 g. (P)

CA, 1971, 75, N6, 412468

КМнF₃

11 Б851. КР-спектры и фазовые переходы в кристаллах KMnF₃. Егеменко В. В., Порков Ю. А., Fomin V. I. Raman scattering and phase transitions in KMnF₃ crystals. «Proc. 2nd Int. Conf. Light Scatter. Solids, Paris, 1971». Paris, 1971, 372—376 (англ.)

1971

Проведено сравнение результатов КР-спектров поглощения (Аг-лазер, λ 4880 Å) кристаллов KMnF₃ (спектры снимались при разных т-рах), с фазовыми переходами в KMnF₃. В интервале т-р 4,2—88,0° К в КР-спектрах KMnF₃ наблюдается 9 полос поглощения — при 28*, 50*, 66*, 108, 135*, 158, 170, 230 и 252 см⁻¹ (звездочкой отмечены полосы поглощения, наблюдаемые при 4,2° К). Вблизи т-ры магнитного упорядочения KMnF₃ (88° К, переход в антиферромагнетик) происходит изменение интенсивности полос, их сдвиг или перекрывание и выше 88° К (вплоть до 184° К) в КР-спектре отражения зафиксированы только 2 полосы 117 и 230 см⁻¹, к-рые исчезают выше 184° К при переходе тетрагон. модификации в кубич. модификацию. Рассмотрен вклад фононных и магнионных составляющих в общий характер спектра в различных т-рных интервалах. А. В. Салов

Х. 1973 N 11

Клнгз

1972

C_p

T_{t2}

ΔH_{t2}

10 Б740. Теплоемкость KMnF₃. Хлюстов В. Г.,
Флеров И. Н., Силин А. Т., Сальников А. Н.
«Физ. твердого тела», 1972, 14, № 1, 175—177

В интервале $T - p$ 70—210° К проведены измерения теплоемкости C_p монокристалла KMnF₃. Обнаружены три аномалии C_p при T -рах 85, 75; 95,13 и 191,44° К, что свидетельствует о наличии трех фазовых переходов (ФП). в данном кристалле. ФП при 95,13° К является переходом I рода, скрытая теплота к-рого $\Delta Q = 15 \pm 0,5$ дж/моль. Для ФП при 85,75 и 191,44° К проведен графич. анализ и показано, что в области этих ФП $C_p \sim \ln |(T - T_k)/T_k|$. Резюме

РжСХ, 1972, № 10

K₂MnO₄(mb) (Δ Красногорск) 1971
Herbstein F.H., Ron G., Weissmann A.,
Therm. Anal., Proc. Int. Conf., 3rd, 1971
(Pub. 1972), 2, 281-7 (anu.)

Thermal decomposition of potassium permanganate.

PF M (P)

20

CA, 1973, 78, N20, 129062m

1971.

KMnF₃

(T_{tr})

10748v Anomalous elastic behavior of manganese potassium trifluoride near a structural phase transition. Melcher, R. L.; Plovnick, R. H. (Watson Res. Cent., IBM, Yorktown Heights, N.Y.). *Phonons, Proc. Int. Conf.* 1971, 348-52 (Eng). Edited by Nusimovici, M. A. Flammarion Sci.: Paris, Fr. With increasing temp. at 120-370°K, the elastic consts. (C_{ij}) of KMnF₃ decreased monotonically to a sharp min. at the 1st-order structural phase-transition temp. ($T_c \approx 186.1^\circ\text{K}$), increased abruptly, went through a broad max. centered at $\sim 270^\circ\text{K}$, and then decreased slightly. Very near T_c , a slight hysteresis was obsd. in C_{ij} on raising and lowering the temp. Thermodn. calcns. of C_{ij} , based on the resonant interaction of soft optic phonons and acoustic phonons (E. Pytte, 1970), agreed qual. with exptl.

C.A. 1973, 79 n2

MnF_2 , FeF_2 , CoF_2 , NiF_2 , $NaSInF_5$, 1971
 $KSnF_3$, $RbSnF_3$, $CsSnF_3$, Cs_2SnF_4 , $NaNiF_3$, ⁷⁵
 $BaAl_2F_4$, $BaCoF_4$, $BaNiF_4$, $SrNiF_4$, $NaCoF_3$, $KCoF_5$, ¹⁰
 $RbCoF_3$, $KNiF_3$, $RbNiF_3$ (T_m) VII 5996

Темиров С.В., Ушаков Е.Г., Сыриков В.П.

Узб. ДИСССР. Сер. физ., 1971, 35, № 1256-1258

Некоторые физико-химические свойства гетероидных и флюоридных титановых переходных металлов.

Риф. № 1001, 1971

30 5 4 9102

21.6.890

K Mn F₃

1971

22 Б552. Комбинационное рассеяние света и фазовые переходы в кристалле KMnF₃. Полков Ю. А., Еременко В. В., Фомин В. И. «Физ. твердого тела», 1971, 13, № 7, 2028—2037

T_{tr}

Кристалл KMnF₃, имеющий при коми. т-ре кубич. перовскитную структуру O_h^1 , при понижении т-ры претерпевает ряд фазовых превращений, приводящих только к понижению симметрии кристалла (184, 110° К) и сопровождающихся антиферромагнитным упорядочением (88° К). С помощью аргонового лазера (λ 4880А) изучен спектр КР этого кристалла в широком интервале т-р (4,2—300° К). Форма и т-рная зависимость частоты одной из полос (135 см⁻¹ при 4,2° К) позволяет однозначно связать ее с двухмагнонным рассеянием.

X. 1971. 22

света. Кроме того, наблюдалось большое число фоновых полос в спектре КР низкосимм. фаз. Эти полосы интерпретированы как добавочные фононные моды в центре зоны Бриллюэна, появляющиеся в результате увеличения объема элементарной ячейки KMnF_3 при понижении симметрии кристалла ниже кубич. Обнаружено уменьшение частот 3 фоновых полос ($28,50$ и 67 см^{-1} при $4,2^\circ\text{K}$) при повышении темп. Высказано предположение, что эти полосы являются мягкими магнонными модами, ответственными за фазовые переходы в изучаемом кристалле. Отмечено, что спектральное положение остальных полос с температурой не меняется, однако интенсивность их претерпевает резкие изменения при темпера-^стурах 88 и 110°K . Выше 184°K все полосы исчезают. Проведен

теоретико-групповой анализ спектра КР кристалла KMnF_3 и сделаны заключения о симметрии его кристаллической решетки в низкотемпературных фазах, которые подтверждаются изучением двойникования и деполяризации света. Резюме

KMnF₃

(7^{tr})

(114460) Raman spectrum and phase transitions in a potassium trifluoromanganate(II) crystal. Popkov, Yu. A.; Eremenko, V. V.; Fomin, V. I. (Fiz.-Tekh. Inst. Nizk. Temp., Kharkov, USSR). *Fiz. Tverd. Tela (Leningrad)* 1971, 13(7), 2028-37 (Russ). KMnF₃ crystal which has a cubic perovskite structure at room temp. undergoes a series of phase transitions when temp. is lowered leading to a decrease in the symmetry of the crystal and is accompanied by antiferromagnetic ordering (88°K). With the aid of an Ar laser (4880 Å) a detailed study was made of the spectrum of Raman light scattering of this crystal in a broad temp. interval (4.2-300°K). The form and temp. dependence of the frequency of 1 of the bands (136 cm⁻¹ at 4.2°K) allowed one to relate it to 2-magnon light scattering. A large no. of phonon bands were obsd. in the Raman spectrum of the low-symmetry phases. These bands are interpreted as

C.A. 1971.35.18

addnl. phonon modes in the center of the Brillouin band appearing as a result of expansion of the unit cell of KMnF₃ on decreasing the symmetry of the crystal below cubic. A decrease was obsd. of the frequency of 3 phonon bands (28, 50 and 67 cm⁻¹ at 4.2°K) with decreasing temp: It is assumed that these bands are soft magnon modes responsible for the phase transitions in the above crystal. The spectral positions of the remaining bands do not change with temp.; however, their intensity changes sharply at 88 and 110°K. Above 184°K all bands disappear. Group theoretical anal. was carried out of the Raman spectrum of KMnF₃ and a conclusion is reached on the symmetry of the cryst. lattice in the low temp. phases. Twinning depolarization studies confirm the above conclusion.

A. Libackyj

ЗР-Г-6886

1972

КлнF₃

= -

3

9,

T_{tr}

5 Е903. Теплоемкость KMnF₃. Хлюстов В. Г.,
Флеров И. Н., Силин А. Г., Сальников А. Н.
«Физ. твердого тела», 1972, 14, № 1, 175—177

Измерения теплоемкости монокристалла KMnF₃ проведены в интервале т-р 70—210° К. Обнаружены аномалии теплоемкости при т-рах 85,75; 95,13 и 191,44° К, что свидетельствует о наличии 3 фазовых переходов в данном кристалле. Переход при 95,13° К является типичным переходом I рода со скрытой теплотой перехода $\Delta Q = 15 \pm 0,5$ дж/моль. Для переходов при 85,75 и 191,44° К $C_p \sim \ln |(T - Tk)/Tk|$. Библ. 10. Резюме

РЖФ, 1972, 58

KMnF₃

1972.

106171m Anomaly of the thermal conductivity of potassium trifluoromanganate. Hirakawa, Kazuyoshi; Hamazaki, Keiichi; Miike, Hidetoshi; Hayashi, Hatsuo (Dep. Electron., Kyushu Univ., Fukuoka, Japan). *J. Phys. Soc. Jap.* 1972, 33-(1), 268 (Eng). Measurements of the thermal cond. (κ) of a KMnF₃ single crystal at 5-300°K revealed a broad local min. in κ near the Neel temp. (88°K), and a sharp local min. in κ at 182°K that corresponded with the cubic \leftrightarrow tetragonal structural transition. No anomalies in κ were obsd. for nonmagnetic KZnF₃.

T_N

C.A. 1972. 77. N16

KMnO₄, (78)

1972

129062m Thermal decomposition of potassium permanganate.
Herbstein, F. H.; Ron, G.; Weissmann, A. (Dep. Chem., Technion-Israel Inst. Technol., Haifa, Israel). *Therm. Anal., Proc. Int. Conf., 3rd 1971* (Pub. 1972), 2, 281-7 (Eng). Edited by Wiedemann, Hans G. Birkhaeuser: Basel, Switz. The enthalpy change for the thermal decompr. of KMnO₄(s) under N at $\sim 280^\circ$ was $\Delta H = -2.5 \pm 0.1$ kcal/mole. At 250° in air, the thermolysis $10\text{KMnO}_4(\text{s}) \rightarrow 2.65\text{K}_2\text{MnO}_4(\text{s}) + [2.35\text{K}_2\text{O}(\text{s}) + 7.35\text{MnO}_{2-\infty}(\text{s})] + 6\text{O}_2(\text{g})$ occurred predominantly by an interionic mechanism, in which the O₂ mols. evolved were formed by combination of O atoms from different MnO₄⁻ ions. The mechanism was detd. by mass-spectrometric measurements of the mol. O evolved in the thermal decompr. of KMnO₄ contg. equimolar amts. of Mn¹⁶O₄⁻ and Mn¹⁸O₄⁻ in solid soln.

(AH pgd.)

C. A. 1973. 78 n20

K_2NiF_4

Bragg 4369 - 8

1972

81245y Elastic and quasielastic neutron scattering from potassium tetrafluoromanganate(II) near the critical point. Ikeda, Hironobu; Hirakawa, Kinshiro (Inst. Solid State Phys., Univ. Tokyo, Tokyo, Japan). *J. Phys. Soc. Jap.* 1972, 33(2), 393-9 (Eng). Elastic and quasielastic neutron magnetic scattering expts. on K_2MnF_4 single crystal which is a typical 2-dimensional antiferromagnet with Heisenberg exchange interaction, were carried out. From the measurements of the temp. variation of magnetic Bragg intensities, existence of 2 types of the magnetic structure (K_2NiF_4 -type and Ca_2MnO_4 -type) with different Neel temps. T_N ($42.37 \pm 0.02^\circ K$ and $58.0 \pm 0.5^\circ K$, resp.) was confirmed. The temp. variation of sublattice magnetization was detd. from the (1, 0, 0) magnetic Bragg intensity. The results can be expressed by a simple power law for $4.2^\circ K < T < T_N$ with exponent $\beta = 0.188 \pm 0.01$. The quasielastic scattering measurements show that 2-dimensional spin correlation is long-range over all the crit. region. The diverging nature of the correlation length among intraplanar spins κ^{-1} at T_N strongly suggests the 2-dimensionality in this substance.

(T_N)

C.H. 1972. 44. 12

1972

KMnF₃

(upset)

C_pT_{tr}ΔH_{tr}C.A. 1972Po. 18

104719b Heat capacity of potassium trifluoromanganate.
 Khlyustov, V. G.; Flerov, I. N.; Silin, A. T.; Sal'nikov, A. N.
 (Inst. Fiz. im. Kirenskogo, Krasnoyarsk, USSR). *Fiz. Tverd.*
Tela (Leningrad) 1972, 14(1), 175-7 (Russ). The heat capacity
C_p of cryst. KMnF₃ was detd. at 70-210°K. Anomalies were
 obsd. at 85.75, 95.13, and 191.44°K which indicate the presence
 of 3 phase transitions. The transition at 95.13°K is a typical
 1st-order transition with the latent heat $\Delta Q = 15 \pm 0.5$ J/mole.
 For the transitions at $T_k = 85.75$ and 191.44°K, graphical
 analysis was carried out and it is shown that in the region of the
 transitions, $C_p \sim \ln[(T - T_k)/T_{kl}]$. A. Libackyj

KMnF₃

I EI264. Магнитоупругие эффекты в KMnF₃
Maartense I., Seagle C. W. Magnetoelastic effects
in KMnF₃. «Phys. Rev. B: Solid State», 1972, 6, № 3,
894—901 (англ.)

1972

Проведены магн. измерения на моно- и поликристаллич. образцах антиферромагнетика KMnF₃. Обнаружены аномалии магн. свойств в диапазоне т-р на 1° ниже точки Нееля (87,9° К): зависимость восприимчивости от поля в полях напряженностью до 100 э, гистерезис восприимчивости и т. д. Показано, что эти явления, так же как и наблюдаемый при 82° К переход в слабоферромагн. состояния, могут быть объяснены на основе модели, учитывающей магнитоупругое взаимодействие обменной природы. Большое влияние магнитоупругого взаимодействия на магн. свойства KMnF₃ обусловлено тем, что в этом в-ве эффективная константа упругости для сдвиговых напряжений аномально мала.

Р. З. Левитин

Ргн № 73-1

$K_3[C_2(O_4)_3] \cdot 3H_2O$; $K_3[V(O_4)_3] \cdot 3H_2O$ | 1972
 $K_3[Sm(O_4)_3] \cdot 3H_2O$; $K_3[Fe(O_4)_3] \cdot 3H_2O$; 17293
 $K_3[Eu(O_4)_3] \cdot 3H_2O$; $K_3[Rh(O_4)_3] \cdot 4.5H_2O$; 17293
 $K_2[Cu(O_4)_2] \cdot 2H_2O$; $K_2[Zn(O_4)_2] \cdot 2H_2O$;
 $K_2[Pd(O_4)_2] \cdot 3H_2O$; $K_2[Pt(O_4)_2] \cdot 2H_2O$ (ΔH , ΔH_f)

Nagase Kenzo

Bull. Chem. Soc. Jap., 1972, 45, N7, 2166-2163 (cited)
Thermal decomposition reactions of metal oxalato complexes in the solid state. I Thermographic studies of metal oxalato complexes

PJL-Nish, 1973
2B2D3

○ M.M.①

1982

KMnF

3

40072w Superstructure arising during a phase transition in potassium trifluoromanganate. Pozdnyakova, L. A.; Kruglik, A. I.; Aleksandrov, K. S. (Inst. Fiz., Krasnoyarsk, USSR). *Kristallografiya* 1972, 17(2), 336-9 (Russ). The superstructure that arises below the phase transition temp. of 189°K in KMnF, was studied by x-ray anal. The data confirm that the space group is D_{4h}^{18} . The temp. dependence for the transition parameter is $\eta \sim (1 - (T/T_0)^\beta)$, where $\beta = 0.49 \pm 0.04$. There is a slight jump in the temp. dependence of the crystal parameters indicating a 1st-order phase transition.

C.A. 1982 PT 6

1972

KSm F

16 Б440. Исследование сверхструктуры, возникающей при фазовом переходе в KMnF_3 . Позднякова Л. А., Круглик А. И., Александров К. С. «Кристаллография», 1972, 17, № 2, 336—339

Проведено исследование сверхструктуры, возникающей в KMnF_3 ниже фазового перехода при 189°K . Полученные данные подтверждают ф. гр. D_{4h}^{18} , а не D_{2h}^{16} . Найдена т-рная зависимость параметра перехода

$\eta = (1 - T/T_0)^\beta$, где $\beta = 0,49 \pm 0,04$. На т-рной зависимости параметров решетки кристалла обнаружен небольшой скачок, свидетельствующий о фазовом переходе 1-го рода.

Резюме

*T₂**X. 1972.**16*

$RbMnB_2$ ₃, Cs_2MnB_2 ₄, $CsMnB_2$ ₃ (T_m) | 1972

$KMnB_2$ ₃, $KyMnB_2$ ₃, Rb_2MnB_2 ₄, Cs_2MnB_2 ₄, (T_m)

Seifert H.-J., Dau E. | 7311

Z. anorg. und allg. Chem., 1979, 351, N3,
302-312 (Hera.)

Системы боратов углеродного и карбоната-
боратов двухвалентного стронция.

Pittsburg, 1973

35729

Б63

11

K.MnF₃

B.P.-7632-X

1972.

170557u Resonance behavior in canted antiferromagnet potassium trifluoromanganate(II). Saiki, Kunio (Dep. Phys., Nagoya Univ., Nagoya, Japan). *J. Phys. Soc. Jap.* 1972, 33(5), 1284-91 (Eng). The magnetic properties of KMnF₃ were studied by ESR at several microwave frequencies. As the temp. was reduced from the Neel temp. of 88.3°K the resonance points shifted toward the low field. These lines, however, disappeared below 81.5°K and the other lines appeared. The field induced canted phase in the intermediate-temp. range is different from the low-temp. canted phase. Though the angular dependence of the spectra at 82.5°K obsd. by using the lowest frequency can be explained by using the simple uniaxial antiferromagnetic resonance theory, the results at 24 GHz cannot. Tentatively, they are compared with the theory which assumes an antisym. exchange interaction with the Dzyaloshinsky-Moriya vector parallel to the easy axis. The expt. and the theory seem to agree fairly well.

C.A. 1972.77.N26

KRnF₃

B.P. 7415 - 8

1972

(T_{tr})

8844j Critical neutron scattering in strontium titanate and potassium trifluoromanganate. Shapiro, S. M.; Axe, J. D.; Shirane, G.; Riste, T. (Brookhaven Natl. Lab., Upton, N.Y.). *Phys. Rev. B* 1972, 6(11), 4332-41 (Eng). The accepted view of the dynamics of the structural phase transition in SrTiO₃ ($T_c \sim 100^\circ\text{K}$) and KMnF₃ ($T_c \sim 186^\circ\text{K}$) had been that of a soft zone-boundary ($\mathbf{q} = \mathbf{q}_R$) phonon driving the transition with a frequency ω_∞ that goes to zero as $T \rightarrow T_c$ from above. Recently, Riste, et al. obsd. in the neutron-scattering spectra of SrTiO₃ a temp.-dependent central component centered around $\omega = 0$ and $\mathbf{q} = \mathbf{q}_R$ in addn. to the phonon sidebands centered around $\omega = \omega_\infty$. Higher-resolution neutron studies of the central component and sidebands in SrTiO₃ are reported, as well as the observation of a central peak in KMnF₃. The central component is interpreted as arising from a low-frequency resonance in the self-energy of the soft mode and is characterized by a frequency ω_0 related to ω_∞ by the anharmonic coupling const. δ , $\omega_0^2 = \omega_\infty^2 - \delta^2$. The temp. behavior of the SrTiO₃ spectra as T decreases shows a rapid increase in the intensity of the central component as the sideband

C.A. 1973, 78.N2

☒ (+) SrTiO₃

frequency ω_∞ decreases. Near T_c , the intensity of the central peak diverges and ω_∞ approaches a finite limiting value. Since ω_0^{-2} is proportional to the total intensity, the diverging intensity implies that $\omega_0 \rightarrow 0$ as $T \rightarrow T_c$. The temp. dependence of ω_0^2 is stronger than that predicted from mean-field theory. The energy width of the central component is < 0.02 meV, and a narrow temp.-dependent q width is obsd. In $KMnF_3$, the central component is clearly seen even though the soft phonons are already overdamped at $40^\circ K$ from T_c . The obsd. spectra have a similar behavior with decreasing temp. as studied in $SrTiO_3$.

$(\text{FeF}_3)_{1-x} (\text{KMnF}_3)_x$ 891-X-7859 1973

+ 34305k Magnetic and crystallographic properties of the mixed system iron(III)fluoride-potassium trifluoromanganate(II) $(\text{FeF}_3)_{1-x} (\text{KMnF}_3)_x$. Darcy, L.; Wojtowicz, P. J.; Rayl, M. (RCA Lab., Princeton, N.J.). *Mater. Res. Bull.* 1973, 8(5), 515-22 (Eng). The mixed system $(\text{FeF}_3)_{1-x} (\text{KMnF}_3)_x$ with $0 \leq x \leq 1$ was prep'd. and investigated. The compds. with $0.19 \leq x \leq 0.22$ are single phase hexagonal while the materials with $0.40 \leq x \leq 0.55$ are single phase tetragonal. The powder samples are all light colored and at low temps. become anti-ferromagnetic (with weak ferromagnetic moments.) The Neel temps. are 111°K for the hexagonal compd. with $x = 0.20$, and 160° and 133°K for the tetragonal materials with $x = 0.40$ and 0.55 , resp. The reasons for the low ordering temperatures are examd. by using the generalized mol. field theory.

T_N

C.A. 1973, 79 n4

BR-7919-X

1973

K_2MnF_4

Rb_2MnF_4

(T_{Neel})

36524u Antiferromagnetic resonance in the quadratic-layer antiferromagnets potassium tetrafluoromanganate(II) and rubidium tetrafluoromanganate(II). De Wijn, H. W.; Walder, L. R.; Geschwind, S.; Guggenheim, H. J. (Bell Lab., Murray Hill, N.J.). *Phys. Rev. B* 1973, 8(1), 299-303 (Eng). Antiferromagnetic resonance was obsd. in the quadratic-layer antiferromagnets K_2MnF_4 (Neel temp. $T_N = 42.1^\circ K$) and Rb_2MnF_4 ($T_N = 38.4^\circ K$) at 24 GHz as a function of the temp. from 1.5 up to 38 and $34^\circ K$, resp., with the static magnetic field parallel to the c axis. To reduce these data to zero-field magnon energy gaps, the frequency renormalization method of Oguchi including a static magnetic field was used. The resulting equations in frequencies and spin-wave occupation nos. were solved self-consistently. The gaps as a function of the temp. appear to scale approx. with the magnetization. By extrapolation, the gaps at $T = 0^\circ K$ were $7.40 \pm 0.05^\circ K$ for K_2MnF_4 , and $7.28 \pm 0.05^\circ K$ for Rb_2MnF_4 . The antiferromagnetic-resonance linewidths increase steadily in approaching T_N .

C. S. 1973, 79 N 6

(+)

D 9 ✓

KMnF3

ВСР 8324 - X

1973

(T₊₂)

14 Б936. Исследование нейтронного рассеяния на колебаниях мягких фононов и структурные фазовые переходы в KMnF3. Geshi Kazuo. «Котай буцури, Solid State Phys.», 1973, 8, № 10, 566—568 (япон.; рез. англ.)

Обзор последних исследований по рассеянию нейтронов на границе мягкой зоны колебаний фононов в KMnF3. Описано поведение фононов вблизи фазового перехода. Библ. 11.

По резюме

Х. 1974. N14.

KMnF₃

1973

84255d Dielectric study of the pressure effect on the cubic-tetragonal phase transition in potassium trifluoromanganate(II). Gesi, Kazuo; Ozawa, Kunio (Japan At. Energy Res. Inst., Tokai, Japan). *J. Phys. Soc. Jap.* 1973, 34(6), 1698 (Eng). With increasing applied hydrostatic pressure at $p = 0\text{--}6$ kbars the temp. ($T_c = 185^\circ\text{K}$ at $p = 0$) of the cubic-tetragonal structural phase transition of single-crystal KMnF₃ increased linearly with the slope $dT_c/dp = 2.63 \pm 0.09$ degrees/kbar. The transition was detected by observing the slight ($\sim 0.1\%$) discontinuity in the low-frequency (1 kHz) dielec. const. of KMnF₃ at T_c .

Tcurve

C.A. 1973. 79N14

Ba_2TiO_4 , Ba_4NbO_4 , Ba_4TaO_4 , Ba_3RuO_4 , $\text{Ba}_2\text{V}_2\text{O}_7$,
 Ba_2VO_4 ; K_3CrO_3 ; Ba_2CrO_4 ; Ba_2MoO_4 ; cas
noch.
 Ba_2WO_4 ; K_2MnO_4 ; K_3MnO_4 ; Li_3ReO_4 ; Ba_2CoO_4
 K_2RuO_4 ; K_2RuO_4 ; K_2FeO_4 ; K_3FeO_4 ; Ba_2FeO_4 ~~K_2FeO_4~~ K_2FeO_4
González-Vilchez F., Griffith W.P., 1973
82

Ah. Quim., 1973, 69, N° 617-24 (ucnatek.)

Tetraoxo complexes of transition metals and their vibrational spectrum.

II. Distribution of the potential energy and general discussion on the force constant data
1 b) ucnatak, 1973, 79, N° 47251d

KMnF₃

1973

(T_{t2})

59437g Spontaneous birefringence and order parameter of potassium manganese trifluoride below the 186°K transition point. Hirotsu, Shunsuke; Sawada, Shozo (Fac. Sci., Tokyo Inst. Technol., Tokyo, Japan). *Solid State Commun.* 1973, 12(10), 1003-5 (Eng). The birefringence of KMnF₃ was measured at 130-186°K. It is shown that the birefringence is proportional to the square of displacement of F⁻ and fits closely a $(T_a - T)^{2/3}$ function near the transition point (where T_a is ~ 1.5°K above the transition temp.). Values of the order parameter were detd. at each temp.

C.J. 1974, 79 N10

K₂MnF₄

BP-X-8223

1973

130684t Critical magnetic scattering in potassium tetra-fluoromanganate(II). Ikeda, Hironobu; Hirakawa, Kinshiro (Inst. Solid State Phys., Univ. Tokyo, Tokyo, Japan). *J. Phys. Soc. Jap.* 1973, 35(2), 617 (Eng). The static crit. behavior in K₂MnF₄ was investigated by neutron diffraction to det. the crit. exponents for the 2-dimensional spin fluctuations, ν , γ , and η below and above the Neel temp. ($T_N = 42.37^\circ\text{K}$). The neutron diffraction measurements were performed with an incident neutron wavelength of 1.23 Å, by using a double-axis neutron spectrometer. The values of the exponents do not agree well with the theor. ones of both Ising and Heisenberg models, but agree with the exptl. ones for K₂NiF₄ within exptl. error.

CA1973

79,22

3ak. 247

KMnF₃

ВР-ЧЧЗ-Х

1973

8 Е478. Зависимость перехода из кубической фазы в тетрагональную в KMnF₃ от давления. Okai Bin, Yoshimoto Jiichiro. Pressure dependence of cubic-tetragonal transition temperature of KMnF₃. «J. Phys. Soc. Jap.», 1973, 34, № 3, 837 (англ.)

T_{tz}

В соединениях ABX₃ со структурой перовскита, где фазовый переход связан с вращением октаэдров BX₆, возникают аномалии в упругих постоянных. Измерялась скорость продольных упругих волн на выращенном методом Бриджмена монокристалле KMnF₃. Применилась

Ф.1973 № 8

УЗ-методика (14 МГц) отраженного волн. импульса, образец размером около 5 мм ориентировался вдоль оси [100]. Давление создавалось в бомбе из бериллиевой бронзы; средой, передающей давление, служила смесь (50÷50) обезвоженного трансформаторного масла и керосина. Максим. давление в бомбе составляло 8 кбар. При нагревании и охлаждении гистерезис не обнаружен. Т-ра перехода, равная при норм. давлении $T_c = 187^\circ\text{K}$, повышалась со скоростью 3,5 град/кбар, что близко к предсказанию Рещиковой (2,9 град/кбар). Неизвестно, остается ли эта зависимость линейной выше 6,5 кбар.

Г. А. Мильтнер

КМнF₃

ВР - 7713 - Р

1973

У17 Б525. Зависимость от давления температуры перехода кубическая фаза—тетрагональная фаза для KMnF₃. Okai Bin, Yoshimoto Jiichiro. Pressure dependence of cubic-tetragonal transition temperature of KMnF₃. «J. Phys. Soc. Jap.», 1973, 34, № 3, 837 (англ.)

Изучена зависимость от гидростатич. давл. точки фазового структурного перехода для KMnF₃ (I) вблизи 187° К. Монокристаллы I были получены методом Бриджмена. Скорость продольных упругих волн изменилась методом УЗ-импульсов на частоте 14 Мгц. Найдено, что т-ра фазового перехода линейно возрастает с увеличением давления.

С. Кобахидзе

Х. 1973 № 17

KMnF₃

BOP 7713-X

1973

(T_t)

152407m Pressure dependence of cubic-tetragonal transitions temperature of potassium trifluoromanganate(II). Okai, Bin; Yoshimoto, Jiichiro (Natl. Inst. Res. Inorg. Mater., Ibaraki, Japan). *J. Phys. Soc. Jap.* 1973, 34(3), 837 (Eng). The cubic-tetragonal phase-transition temp. (T_t) of KMnF₃ increased linearly with increasing hydrostatic pressure (p) from $T_t = 187$ to 210°K at $p = 0$ and 6.5 kbar, resp.

C.A. 1973. 78 n24

K₂MnF₄

BP-X-7901

1973

KNiF₄

(Cp)

141093e Specific heat of two-dimensional Heisenberg antiferromagnets, potassium tetrafluoromanganate(II) and potassium tetrafluoronickelate(II). Salamon, M. B.; Ikeda, H. (Dep. Phys., Univ. Illinois, Urbana, Ill.). *Phys. Rev. B* 1973, 7(5), 2017-24 (Eng). The heat capacities of the quasi-Heisenberg antiferromagnets K₂MnF₄ and K₂NiF₄ were measured by means of a.c. calorimetric methods and, through a comparison with the isostructural compound K₂MgF₄, the magnetic contributions were extracted. The magnetic components lie on a universal curve when plotted in units of $R \ln (2S + 1)$ (R is gas law const., S is entropy) against the reduced temp. T/T_c^2 , where T_c^2 is the resp. ordering temp. The entropy change of $R \ln (2S + 1)$ is spread over the range $0.4 \leq T/T_c^2 \leq 4$ with a peak in the sp. heat at $\sim 1.5T_c^2$. Smaller peaks are obsd. at the transition points and are attributed to the crossover to anisotropic behavior. Models for the 2-dimensional Heisenberg magnet are discussed and a suggestion by Kuramoto is explored which produces good agreement with expt. and a transition temp. which is proportional to the crit. exponent η .

(+1)

M

C.H. 1973 BP/NLZ

K_2MnF_4

9 Е781. Удельная теплоемкость двумерных гейзенберговских антиферромагнетиков K_2MnF_4 и K_2NiF_4 . Salamon M. B., Ikeda H. Specific heat of two-dimensional Heisenberg antiferromagnets: K_2MnF_4 and K_2NiF_4 . «Phys. Rev. B: Solid State», 1973, 7, № 5, 2017—2024 (англ.)

1973

Калориметрическим методом в интервале $T=20-300^{\circ}K$ измерялась уд. теплоемкость квазигейзенберговских антиферромагнетиков K_2MnF_4 и K_2NiF_4 . Магн. компонента теплоемкости (ΔC) выделялась путем сравнения полученных результатов с температурной зависимостью уд. теплоемкости изоструктурного соединения K_2MnF_4 . Обнаружено совпадение эксперим. зависимостей $\Delta C(T)$ для K_2MnF_4 и K_2NiF_4 , построенных в координатах $\Delta C/R \ln(25+1)$ и T/T_c (для $Mn^{2+} s=5/2$, для $Ni^{2+} s=1$; T_c — критич. т-ра, при которой расходится восприимчивость; $T_c=42,1^{\circ}K$ для K_2MnF_4 и $T_c=98,7^{\circ}K$ для K_2NiF_4).

(C_p)

ф. 1973 № 9

(+)

(X)

для K_2NiF_4 . В указанных координатах кривая зависимости $\Delta C(T)$ в диапазоне $t\text{-}p \quad 0,4 < T/T_c < 4$ имеет куполообразную форму с максимумом при $T/T_c = 1,5$. В окрестности T_c обнаружены небольшие пики ΔC для обоих соединений. Для K_2MnF_4 при $T > T_c$ получен степенной закон $\Delta C \sim (T/T_c - 1)^{0,87}$. Проведенный расчет с использованием методики, предложенной Курамото (РЖФиз, 1972, 5Б79), обнаружил согласие между теоретическими и эксперим. зависимостями $\Delta C(T)$. Получено совпадение между расчетными и эксперим. значениями T_c . Обнаружено, что $T_c \sim \eta$ (η — критич. показатель в выражении для парной корреляционной ф-ции). В. Г. Шапиро

$TlMnCl_3$, $KMnF_3$ (T_{tz} , ΔH_{tz}) X 8105 1973

Vijayaraghavan R., Karkhanavala^{10,17}, D.D.,
Damle S.D., Guptha L.C., Rao U.R.K.

Pramana, 1973, 1, N3, 155-160 (ann.)

Crystallographic and magnetic phase
transition in $TlMnCl_3$.

2276 QK.
Б(9) 4

PHI Jour., 1974

56863

K₂MnF₄ (Tveel). X ~~8650~~
8677 1974.

Bucci C., Guidi G.,

Phys. Rev. B, 1974, 9 (7), 3053-63.

magnetic phase transition in
planar antiferromagnets. Fluorine-19
magnetic-resonance experiments in
dipotassium tetrafluoromanganate.

LATR PK

C.A. 1974. 81 N4.185738.

5 (P)

K.U.M.F₃ Begum N. A. 1974

Reissland J. A.

(C_p)

"Indian J. pure and appl.

phys" 1974, 12, N6, 420-422

(lauru)

(see KCoF₃; I)

1974

KCoF₃

(Cp)

9 Б807. Магнитный вклад в теплоемкость некоторых антиферромагнетиков-перовскитов. Begum N. A., Reissland J. A. Magnon contribution to specific heat of some anti-ferromagnetic perovskites. «Indian J. Pure and Appl. Phys.», 1974, 12, № 6, 420—422 (англ.)
Установленные авторами теор. соотношения дисперсии магнионов в антиферромагнетиках-перовскитах использованы для оценки магнитного вклада в теплоемкость двойных фторидов KCoF₃ ($T < 35^\circ\text{K}$), RbMnF₃ ($T < 50^\circ\text{K}$), KMnF₃ ($T < 30^\circ\text{K}$) и KNiF₃ ($T < 50^\circ\text{K}$).
Л. Резницкий

НСУБД-КСБ

+3

Х. 1975. № 9

MnCl₂-LiCl, MnCl₂-KCl,

1974

MnCl₂-RbCl, MnCl₂-CsCl

(K_P, K_P, AH, AS) X-9483

Буронев Б.Н., Миронов В.Л.,

Ж. груз. химии, 1974, 48 (8),

2142.

M (P)

Давление насыщенного пара
смесей хлоридов (хлоридов...
C.A. 1975, 82 n 4. 22310 w

1974.

SrTiO₃, KMnF₃, Nb₃Sn,
Sb,Sy (Ttr).

[X4791

Cowley R. A.,
Ferroelectrics, 1974, 6 (3-4),

163-78.

Structural phase transitions,
soft modes, and quasi-elastic
scattering.

5, An CP

PA 1974.81N18.112021m

KMnF₃

1974

(Itr)

J84: 24641v Critical sound velocity and attenuation in potassium trifluoromanganate. Fossheim, K.; Martinsen, D.; Linz, A. (Phys. Dep., Univ. Trondheim, Trondheim, Norway). *NATO Adv. Study Inst. Ser., Ser. E* 1974, 1 (Anharmonic Lattices, Struct. Transitions Melting), 141-6 (Eng). The effects of the R₂₅-transition on the crit. sound velocity and attenuation in KMnF₃ were studied. Nearly perfect crystals were measured at 80-210°K along the [100] direction. Min. in the velocity and max. in the attenuation were obsd. at $T_c = 91.5^\circ\text{K}$ and $T_a = 187.5^\circ\text{K}$ (R₂₅ transition). A hysteresis of 0.2°K occurred at T_a . Above T_a 2 characteristic temp. dependencies of the attenuation appeared. The frequency dependence of the attenuation is not a simple square dependence but weakly temp. dependent with values of 1.3-1.4. Simple power laws do not seem to hold. The transition T_c is new and appears to be 2nd-order whereas T_a is 1st order.

C.A. 1976.84.04

$\text{Na}_2\text{MnP}_2\text{O}_7 \cdot 4\text{H}_2\text{O}$ I-9570 1974
 $\text{K}_2\text{MnP}_2\text{O}_7 \cdot 3\text{H}_2\text{O}$ (Tm).

Токсузанов М.В., Мартьянчиков,
Ур. зан. Куйбышев. пед. ин-та,
1974, 124, 28-33.

Физикохимическое исследование
и изучение кристаллов марганца. 3

C.A. 1975. 83 n 6. 52643v. б №

SrTiO_3 , LaAlO_3 , KMnF₃ 1974.
(Tet). IX-4923

Hatta Y.,

Busssei Kenkyu, 1974, 22 (4),
438-41.

Critical phenomenon and a
central peak in the structural
phase transition. 9, 8, 10

c.a. 1975. 82 n 8. 50007 w.

50

10

Kaifu; MuF₂; CsCl₂·2H₂O [T+] | 1974
Hirakawa K., 8351 ~~8807~~

J. Crystallogr. Soc. Jap., 1973, 15, N1, 103-104 (Jpn.)

Critical phenomena in phase transitions.

$$\frac{\text{err } \theta R}{8}$$

B

PKP. 3E558

Li_2MnCl_4 , Na_2MnCl_4 , K_2MnCl_4 , 1974

Rb_2MnCl_4 , Cs_2MnCl_4 (ΔH_f) X4507

Kucharski A.S., Flengas S.N. 1974-

J. Electrochem. Soc., 1974, 121, N10, 1298-

1308 (ann.)

Electrical conductivities and molar volumes in the binary systems MnCl_2 -LiCl,
 MnCl_2 -NaCl, MnCl_2 -KCl, MnCl_2 -CsCl.

PDH-Yunn. 1975

85904

M(92)

11

KMnF₃

БР-X-8927

1974

8 E282. Измерения теплоемкости KMnF₃ вблизи структурных и магнитных фазовых переходов. McCormick W. D., Trappe K. J. Heat capacity measurements on KMnF₃ at the soft mode and magnetic phase transitions. «Low-Temp. Phys.—LT 13. Vol. 2». New York—London, 1964, 360—364 (англ.)

C_p, T_{Tz}, ΔH_{Tz}

Измерялась теплоемкость монокристалла KMnF₃ в диапазоне т-р 80—200°К. Обнаружены 4 аномалии при т-рах 82,5, 87,8, 92,3 и 187°К. Эти аномалии имеют следующие характеристики: I. 186,6°К, структурный переход 1-го рода, слабая мода Γ_{25} , кривая теплоемкости расширяется выше точки фазового перехода, $\Delta C_p = 17,2$ дж/моль·°К; II. 92,3°К, структурный переход 1-го рода, слабая мода M_3 , скрытая теплота $< 1,2$ дж/моль; III. 87,8°К, антиферромагн. переход 2-го рода; IV. 82,5°К, переход 1-го рода вызванный переориентацией спинов, скрытая теплота перехода $\sim 17,7$ дж/моль.

А. С. Андреенко

о. 1975. N 8

KMnF₃

BP-X-8927

1974

(Cp)

130039y Heat capacity measurements on potassium trifluoromanganate(II) at the soft mode and magnetic phase transitions. McCormick, W. D.; Trappe, K. I. (Dep. Phys., Univ. Texas, Austin, Tex.). *Low Temp. Phys.-LT 13, Proc. Int. Conf. Low Temp. Phys., 13th 1972* (Pub. 1974). 2, 360-4 (Eng). Edited by Timmerhaus, Klaus D; O'Sullivan, William John; Hammel, E. F. Plenum: New York, N. Y. The heat capacity was detd. of KMnF₃ [13827-01-5] at 80-200°K. Four anomalies were obsd. in this temp. range, 2 assocd. with soft mode structural phase transitions and 2 with magnetic transitions. Detailed study was made of the 187°K soft mode transition.

0.4. 1975. 82. N20

ВР-X-8927 1974

KMnF₃

17 Б647. Измерения теплоемкости KMnF₃ в точках структурных и магнитных фазовых переходов. McCormick W. D., Trappe K. I. Heat capacity measurements of KMnF₃ at the soft mode and magnetic phase transitions. «Low Temp. Phys.—LT 13. Vol. 2.» New York—London, 1974, 360—364 (англ.)

В интервале 80—200° К измерена уд. теплоемкость монокристалла KMnF₃, имеющего структуру перовскита. При $T = 186,6; 92,3; 87,8$ и $82,5^{\circ}$ К обнаружены фазовые переходы. Аномалия теплоемкости λ -типа, наблюдающаяся при $T = 87,8^{\circ}$ К, характерна для антиферромагнитных фазовых переходов 2-го рода, а ее положение соответствует т-ре Нееля. Нек-рое «округление» этого пика связано, по-видимому, с напряжениями в кристалле, вызванными структурными фазовыми переходами. Аномалия при $82,5^{\circ}$ К идентифицирована как переход к неколлинеарной магнитной структуре — слабому ферро-

Cp, Ttr, 4 Hz

X 1975 N 17

магнитному состоянию, что отвечает фазовому переходу 1-го рода со скрытой теплотой превращения $\sim 17,7$ дж/моль. Ухудшение термич. связи образца с калориметром, наблюдающееся в этой точке, указывает, по мнению авторов, на значит. структурные изменения, происходящие при этом переходе. Оставшиеся две аномалии объяснены структурными фазовыми переходами, обусловленными нестабильностями ветвей поперечных акустич. фононов с низкими энергиями в зоне связи. Особенностью перехода при $T=186,6^{\circ}\text{K}$ является наличие длинного «хвоста» в области выше точки перехода. Природа этого явления, по мнению авторов, заслуживает дальнейшего изучения. Пик при $92,3^{\circ}\text{K}$ связан со 2-м структурным фазовым переходом. Он сильно уширен из-за напряжений, возникших при переходе в точке $T=186,6^{\circ}\text{K}$. Скрытая теплота этого перехода $<1,2$ дж/моль.

Ю. В. Ракитин

1974

КМнСл₃

КНИГА У МЕДВЕДЕВА

Новиков И.И. Орехова С.Е.

Химия и химическая технология
вып. 7, стр 12-32, Издат. "Выс. школа"

1974 г, г. Минск.

Некоторые вопросы химии парообразн. и
компл. соединений.

KMnF₃

1974

(Ttx)

161334z Spin reorientation in the low temperature phase of potassium manganese(II) fluoride. Saiki, K.; Yoshioka, H. (Dep. Phys., Nagoya Univ., Nagoya, Japan). *Solid State Commun.* 1974, 15(6), 1067-70 (Eng). The temp. dependence of anisotropy fields of the canted antiferromagnet KMnF₃ at the low temp. phase was investigated by analyzing the antiferromagnetic resonance. There exists a 2nd-order magnetic transition assocd. with the spin reorientation at $T_0 \sim 50^\circ\text{K}$ in the absence of applied fields.

C.A.1974.81N24

KMnF₃

BP-X-8346 1974

10 Б632. Изучение KMnF₃ методом спектроскопии комбинационного рассеяния. Тоггіе В. Н., Lockwood D. J. Raman spectral study of KMnF₃. «Ferroelectrics», 1974, 8, № 1—2, 583—584 (ағл.)

Для тетрагональной фазы KMnF₃ измерена т-риальная зависимость мягкой моды E_g , анализ к-рой выполнен с использованием спектральной функции отклика вида $\chi^{-1}(\omega) = (\omega_{\infty}^2 - \omega^2 + i\gamma\omega - \delta^2/(1+i\omega\tau))$. Установлено, что квадрат частоты ω_0^2 линейно зависит от $(T_c - T)^{2/3}$ ($\gamma = 22 \text{ см}^{-1}$ и $\delta^2 = 60 - 70 \text{ см}^{-2}$ при $T_c = 186,4^\circ\text{K}$). Резюме

(Tr)

х 1975 N 10.

BaTiO₃

Benguigui L

1975

175311g Critical regions at a first-order transition.
Phys. (Dep. Phys., Technion Israel Inst. Technol., Isr., Israel). *J. Phys. C* 1975, 8(1), 17-28 (Eng.).
Criterion of the Landau theory is not valid at a 1st-order
transition (FOT) when the transition temp. T_c is located near 2
points: the metastable crit. point (MCP), which is the
upper limit of the ordered phase; and the fluid-like crit. point
 ψ_c , at which the conjugate of the order parameter is not
equal to zero. By using the criterion of V. L. Ginzburg (1961), 1
inequality is shown to express the condition that T_c be outside
2 crit. regions. These results were applied to 2 types of FOT:
located near a tricrit. point, and the other located near an
isolated crit. point. When T_c is inside a crit. region, the crit.
values of the MCP are $\beta_1 = \overline{\beta}$ (crit. index of the FLCP) and $\alpha_1 = 1 - \beta_1$. The crit. region (0.2°) near the ferroelec. transition
(FLCP) in BaTiO₃ was calcd., and the available exptl. results are
discussed for the ferroelec. transition in SbSI and the structural
transition in KMnF₃.

(T_{tr})

C.A. 1975. 82. N26 8 ② 58,59; K₂MnF₃

KMnF₃

BP-9232-X 1975

52354b Phase transitions in potassium trifluoromanganate(II).
Hidaka, M.; Ohama, N.; Okazaki, A.; Sakashita, H.; Yamakawa,
S. (Dep. Phys., Kyushu Univ., Fukuoka, Japan). *Solid State
Commun.* 1975, 16(9), 1121-4 (Eng). The structural and
magnetic phase transitions in KMnF₃ were examd. by means of
neutron diffraction. The structural transition at 91°K accompanied
by the A_3 soft-mode phonon condensation shows typical
2nd-order character. The transition temp. and characterization
of other structural and magnetic transitions are also given.

(Ttr)

C.A. 1975, 83 n 6

K.MnF₃

BP-9232-X 1975

(T_m)

№ 21 Б1171. О фазовых переходах в KMnF₃. Hidaka M., Ohama N., Okzaki A., Sakashita H., Yamakawa S. A comment on the phase transitions in KMnF₃. «Solid. State Commun», 1975, 16, № 9, 1121—1124 (англ.)

Методом нейтронографии исследованы структурный и магнитный фазовые переходы в KMnF₃. Структурный переход при 91° К, сопровождающийся смягчением фонной моды, имеет характер перехода 2-го рода. Обсуждаются характерные св-ва др. структурных и магнитных переходов.

По резюме

x 1975 № 21

ВФ 9232 - X

1975

KMnF₃

10 E811. О фазовых переходах в KMnF₃. Hida-
ka M., Ohama N., Okzaki A., Sakashita H.,
Yamakawa S. A comment on the phase transitions
in KMnF₃. «Solid State Communns», 1975, 16, № 9,
1121—1124 (англ.)

(T_{tr})

С помощью дифракции нейтронов исследованы низкотемпературные фазовые переходы (ФП) в монокристаллах KMnF₃. Установлено, что ФП при т-ре $T_0 = 91,55^\circ\text{K}$ является структурным переходом 2-го рода, поскольку при приближении к T_0 наблюдается непрерывное уменьшение интенсивности рефлексов (354) и (013), описываемое соотношением $J \propto \varepsilon^\beta$, где $\varepsilon = (T_0 - T)/T_0$, $\beta = 1/3$. Этот переход связывается с конденсацией моды M_3 . При $T = 88^\circ\text{K}$ наблюдается чисто магн. переход 2-го рода, а при $T_c = 81^\circ\text{K}$ — кристаллографический ФП 1-го рода, сопровождающийся изменением магн. свойств.

И. Разумовский

ф. 1975 № 10

KMnF₃

1975

З Б525. Кристаллическая структура KMnF₃ при 50° К. Hidaka Masanori. The crystal structure of KMnF₃ at 50 K. «J. Phys. Soc. Jap.», 1975, 39, № 1, 180—186 (англ.)

Соединение KMnF₃, для к-рого ранее предполагались три полиморфных модификации: одна устойчивая в обычных условиях, парамагнитная с кубич. структурой типа перовскита (ф. гр. *Pt3m*) и две низкот-рные, устойчивые в диапазоне 284—88° К, обладающие тетрагон. и ромбич. решетками, в действительности имеет лишь одну низкот-рную модификацию (I). Предпринятое рентгенографич. исследование (метод Вейсенберга, λ Mo, съемка при низкой т-ре). Сверхструктурные отражения от тетрагон. решетки I типа $h+k=2n+1$, $l=-2n$ и $h+k=2n$, $l=2n+1$, запрещенные кубич. решеткой с ф. гр. *Pt3m*, появляются при т-ре ниже 91,5° К.

*разовый
переход
Крист.
структ*

X 1976 N 3

очевидно, отвечающей началу фазового перехода. Определение структуры I выполнено с использованием 122 сверхструктурных отражений, полученных при $T=50^{\circ}\text{K}$; уточнение МНК проведено до $R=0,17$. Параметры тетрагональной решетки I: $a = 5,894$, $c = 8,348 \text{ \AA}$, $Z = 4$, ф. гр. $P4/mmb$. Структура I представляет собой искаженный за счет вращения октаэдров MnF_6 вокруг оси с вариант структуры перовскита. По сравнению с идеальной кубич. моделью координаты атомов изменяются только у атомов F и лишь они дают вклад в интенсивности сверхструктурных отражений. Вращение октаэдров имеет место только на уровнях $Z = 1/2$, но не на уровнях $Z = 0$, в связи с чем становится различной координация К на этих уровнях. Для объяснения крист. и магнитной структуры I привлечена теория мягких фононов.

С. В. Соболева

K₂Mn₂(SO₄)₃ | B49002-X

1975

(Tm)

169032m Fusibility diagram of the potassium, manganese sulfate system. Ivanov, V. S.; Martynova, N. S.; Krivousova, I. V.; Susarev, I. P. (Tambov. Inst. Khim. Mashinostr., Tambov, USSR). Izv. Vyssh. Uchebn. Zaved., Khim. Tekhnol. 1975, 18(7), 1168 (Russ). Addnl. data considered in abstracting and indexing are available from a source cited in the original document. From cooling curves in the K⁺,Mn²⁺||SO₄²⁻ system using a Pt-PtRh thermocouple, the formation of the congruently melting compd. K₂Mn₂(SO₄)₃ was confirmed. Studies of samples with Al₂O₃ added for nucleation in the region 47-60 mole% MnSO₄ revealed stratification probably resulting from the formation of K₂Mn(SO₄)₂.

C. E. Stevenson

C. A. 1975.

83 N 20

1975

KMnF₃

11 Б780. Двухмагнионное комбинационное рассеяние в KMnF₃. Lockwood D. J., Coombs G. J. Two-magnon Raman scattering in KMnF₃. «J. Phys. C: Solid State Phys.», 1975, 8, № 23, 4062—4070 (англ.)

Измерены спектры КР монокристаллов KMnF₃ для ряда значений т-ры, расположенных ниже точки антиферромагнитного перехода $T=88,1^{\circ}\text{K}$. Спектры КР рассчитаны при тех же значениях т-ры с учетом вклада двухмагнионного рассеяния. Получено хорошее согласие эксперим. и расчетных данных. Измерена т-рная зависимость положения максимума и полуширины двухмагнионного пика в КР, к-рая хорошо согласуется с рассчитанной ранее (Balucani U. and Tognetti V. Phys. Rev., 1973, B8, 4247). Полученные результаты позволили определить значение изотропной константы обменного взаимодействия, равное $4,984 \pm 0,072 \text{ см}^{-1}$, к-roe хорошо согласуется со значением $5,037 \text{ см}^{-1}$, полученным из данных по неупругому рассеянию нейтронов.

К. П. Мелетов

(T_{tr})

x 1976N11

$K_2[Mn(C_2O_4)_2] \cdot 2H_2O$; $K_2[Co(C_2O_4)_2] \cdot 2H_2O$; $K_2[Ni(C_2O_4)_2] \cdot 2H_2O$; $K_2[Zn(C_2O_4)_2] \cdot 5H_2O$ | 1975
 $K_2[Co(C_2O_4)_2] \cdot 6H_2O$; $K_2[Ni(C_2O_4)_2] \cdot 6H_2O$; $K_2[Zn(C_2O_4)_2] \cdot 5H_2O$
(ΔH) Nagase Kenzo, Saizo Kazuya,
Tanaka Nobuyuki X-9225
Bull. Chem. Soc. Jap., 1975, 48, N3, 868-873 (Amer.)
Thermal dehydroxylation and decomposition of dioxo-
cate complexes of $Ba(II)$, $Mn(II)$, $Co(II)$, $Ni(II)$, $Cu(II)$
and $Zn(II)$ in solid state.

PHILIPS, 1975

20B161

M, B (cp)

8

1975

KMnF₃

SrTiO₃

(Ter)

✓ 84: 50139g Critical behavior and cubic anisotropy. Nattermann, T.; Trimper, S. (Sekt. Phys., Karl Marx Univ., Leipzig, E. Ger.). *J. Phys. A: Math. Gen.* 1975, 8(12), 2000-17 (Eng). The influence of the cubic anisotropy both in the quadratic and quartic part of an n -component spin Hamiltonian is examd. in the framework of a parquet-graph summation. For values of the anisotropy parameter f larger than a crit. value, f_c , a 1st-order transition occurs which corresponds to the appearance of complex fixed points in the renormalization group approach. On the other hand for $f < f_c$ a 1st- or 2nd-order transition occurs depending on f , n , and the values of the bare coupling consts. The theory gives an explanation for the 1st-order transition in KMnF₃ and the decrease of the exponent β as T_c is approached in SrTiO₃.

(+1)

C.A. 1976 84N8

50924.7225
Ph, Ch, TC, MGU

92493

1975

KMnF₃

* 45-10006

Oka i Bin, Yoshimoto Jiichiro. BP-H-5110

Pressure dependence of the structural phase transition temperature in SrTiO₃ and KMnF₃.

"J. Phys. Soc. Jap.", 1975, 39, N 1, 162-165

(англ.)

(исл. SrTiO₃; I)

0455 пик

427 427

0 5 3 2

ВИНИТИ

Kelln F_3

B P 5110-IX

1975

Okai Bin, Yoshimoto S.,

"Fes. Phys. Chem. Jap.", 1975, Spec.

(1₂)

Issue, 267-210

● (aer. Sr TiO₃; I)

Б9-X-9075 1975

KMnF₃

(T_{tr})

19 Б948. Термодинамическое описание структурных фазовых переходов в кристалле KMnF₃. Зиненко В.И. «Физ. твердого тела», 1975, 17, № 4, 1064—1070

Рассмотрены структурные фазовые переходы в кристалле KMnF₃ при 191 и 95° К как результат нестабильности крист. решетки по отношению к нормальным колебаниям Γ_{25} с волновым вектором $K_1=1/2(b_1+b_2+b_3)$ и M_3 с волновым вектором $K_2=1/2(b_1+b_2)$. Теоретико-групповым анализом найдена наиболее вероятная пространственная группа кристалла KMnF₃ ниже 95° К. Записан термодинамич. Пт с учетом трансформац. св-в параметров переходов, преобразующихся по представлениям Γ_{25} и M_3 . Определены численные значения констант разложения термодинамич. Пт. Проводится сравнение с имеющимися эксперим. данными.

Резюме

Х 1975 N 19

KMnF₃

BP-X-9075 1975

19370f Thermodynamic description of structural phase transitions in a manganese potassium fluoride crystal.
Zinenko, V. I. (Inst. Fiz. im. Kirenskogo, Krasnoyarsk, USSR).
Fiz. Tverd. Tela (Leningrad) 1975, 17(4), 1064-70 (Russ).
Structural phase transitions were investigated in the KMnF₃ crystal at 191 and 95°K resulting from instability of the crystal lattice relative to normal vibrations Γ_{25} with wave vector $K_1 = 1/2(b_1 + b_2 + b_3)$ and M_3 with wave vector $1/2(b_1 + b_2)$. By group theor. anal., the most probable space group was found for KMnF₃ crystal below 95°K. The thermodn. potential was obtained allowing for transformation properties of the parameters of the transition, transforming according to the representations Γ_{25} and M_3 data are compared with existing exptl. data.

(T_r)

A Libackyj

C.A. 1975. 83 N2

1576

KMnF₃RbMnF₃CsMnF₃(T_m)

7 Б544. Высокотемпературный электронный парамагнитный резонанс в твердых и расплавленных парамагнетиках. Догтапп Е., Нопе Д., Яссагіпо В. High-temperature EPR in solid and molten paramagnets. «Phys. Rev. B: Solid State», 1976, 14, № 7, 2715—2739 (англ.)

Исследовано влияние различных форм теплового движения (колебания решетки, атомная миграция) на структуру линии ЭПР в парамагнитных солях MnF₂ и XMnF₃ (X=K, Rb, Cs). Получена форма линий ЭПР при т-рах 300—1450° К. У солей XMnF₃ (X=K, Rb, Cs) ширины $\Delta H^{\parallel}(H_0 \parallel c)$ и $\Delta H^{\perp}(H_0 \perp c)$ линий ЭПР растут с ростом т-ры вплоть до точки плавления (T_m). В точке T_m скачком происходит исчезновение дублета ΔH^{\parallel} и ΔH^{\perp} и появляется одна линия ΔH . У MnF₂ ширины ΔH^{\parallel} и ΔH^{\perp} ведут себя в окрестности T_m очень резко. Примерно за 200° до T_m они начинают убывать, причем фактор анизотропии ($1 - \Delta H^{\parallel}/\Delta H^{\perp}$) меняет знак. При плавлении т-рная зависимость $\Delta H(t)$ для MnF₂ не ис-

42

18

Х.1577 №7.

пытывает скачка. Исследованы структурно-изоморфные магнитные р-ры типа $KMn_{1-x}Mg_xF_3$ как в тв., так и в жидк. состояниях. В сильно разб. тв. р-рах обнаружена тонкая структура ^{55}Mn и ^{19}F . Исследована зависимость ширин от конц-ии x . Дана теор. интерпретация т-рной зависимости ΔH для парамагнитных солей. Показано, что спин-решеточное взаимодействие слишком слабо для того, чтобы объяснить экспериментально наблюдаемые ширины линий ЭПР. Изучено влияние колебаний решетки на диполь-дипольное и обменное взаимодействия. Аномальное поведение ширин MnF_2 ниже T_m интерпретировано как следствие активац. обмена соседних ионов Mn^{2+} вдоль с-оси с энергией активации $E_a \approx 0,3$ эв.

В. А. Онищук



KMnF₃

1976

9 Д672. Определение температур переходов в KMnF₃ с помощью ЭПР. Jakubowski P., Kraska-Skrzypek D., Ratuszna A., Chełkowski A. *Est evidence of transition temperatures in KMnF₃.* «Acta phys. pol.», 1976, A 49, № 2, 285—288 (англ.)

(T_{tr})

В 3 см-диапазоне исследована температурная зависимость характеристик спектра ЭПР Mn²⁺ в монокристаллах KMnF₃ при ориентации внешнего магн. поля вдоль оси <110> кристалла. При понижении т-ры T от 300° К до примерно 93° К значения $g=2,00$ и ширины линии $\Delta B_{pp}=60$ гс остаются постоянными. В интервале T между $T_N=87,9$ ° К и $T_c=81,5$ ° К, соответствующем одноосной антиферромагн. области состояний, наблюдаются две резонансные линии. Проанализирована лишь одна линия, расположенная в более низких полях, т. к. интенсивность второй линии очень мала и уменьшается значительно быстрее, чем интенсивность первой линии

97 1976 09

при понижении T от T_N . Анализ зависимости от T положений линий и их ширин показывает, что имеет место отклонение от значений, соответствующих парамагн. состоянию, при т-рах около $88,5^{\circ}$ К. Кривая зависимости константы антиферромагн. резонанса от T обращается в нуль также при $T=88,5^{\circ}$ К. Детальный анализ области перехода из парамагн. фазы в антиферромагн. фазу показывает, что в интервале т-р $88,5-87,9^{\circ}$ К существуют обе эти магн. фазы. При т-ре $88,5^{\circ}$ К появляется новая широкая резонансная линия, обусловленная антиферромагн. фазой, ширина которой быстро уменьшается при понижении T . Значение $T_N=87,9$ хорошо согласуется со значением, полученным из измерений магн. восприимчивости. Точка T_c соответствует переходу в состояние антиферромагнетика со слабым ферромагнетизмом.

И. В. Ч.

KMnF₃

1976

84: 172942j ESR evidence of transition temperatures in potassium manganese trifluoride. Jakubowski, P.; Kraska-Skrzypek, D.; Ratuszna, A.; Chelkowski, A. (Inst. Phys., Silesian Univ., Katowice, Pol.). *Acta Phys. Pol. A* 1976, A49(2), 285-8 (Eng). The ESR of Mn²⁺ ion in KMnF₃ between 80 and 90°K was reported. The anal. of the transition from the paramagnetic phase to the antiferromagnetic phase showed the coexistence of the 2 magnetic phases in the temp. region of 87.9-88.5°K.

(Tr)

C.A. 1976 84 n24

MnCl₂-AlCl₃-KCl БХ-227 1976
(раз. кварц.) ХМСЛЛ12

Кузьминко А. С., Ребов Е. Н.,
Саркисян Р. А., Орегев В. С.,
Ис. научн. химии, 1976,
49(3) 654-5.

Исследование термической
устойчивости MnCl₂-AlCl₃-KCl.

Р. А. 1976. 25 № 2. 10799 м. 5

1976

RbCaF₃KMnF₃T_{cr}

(41)

8 Б517. Рассеяние фононов в RbCaF₃ и KMnF₃.
 Martin J. J., Dixon G. S., Valasco P. P.
 Phonon scattering in RbCaF₃ and KMnF₃. «Phys. Rev. B: Solid State», 1976, 14, № 6, 2609—2612 (англ.)

Измерена теплопроводность (ТП) монокристаллов RbCaF₃ (**I**) и KMnF₃ (**II**), имеющих структуру перовскитов. Измерения проводились при т-рах 2—500° К. Потоки тепла измерялись в направлениях [100] для **II** и в [100] и [110] для **I**. Подсчет дислокаций методом поверхн. травления дал плотности дислокаций 10^7 см^{-2} для **I** и $5 \cdot 10^5 \text{ см}^{-2}$ для **II**. ТП $\lambda_{[100]}$ и $[\lambda_{110}]$ как функции т-ры ведут себя одинаково. Оба соединения **I** и **II** обнаруживают аномальный т-рный ход ТП по сравнению с перовскитами типа KMgF₃ (**III**) в области низких т-р. Кривая λT имеет резкие минимумы при 45° К (**I**) и 92° К (**II**). Отмечено, что (по нейтронографич. данным **I** и **II** претерпевают структурные превращения при 45 и 91° К соотв. Отмечено, что периодич. нагревание и охлаждение **I** между 5 и 300° К приводит к изменению низкот-рной части ТП от цикла к циклу. Предположено, что низкот-рная ТП определяется рассеянием фононов

X. 1977
n8

на дислокациях. Подобная термич. обработка I приводит к росту плотности дислокаций, вследствие чего уменьшается ТП. Отмечено, что минимумы ТП при 45°K для I и 92°K для II примерно в 20 раз меньше по величине значений ТП для кубич. перовскитов типа III. Предположено, что столь резкое уменьшение ТП связано с сильным рассеянием фононами на фононах, обусловленным возникновением мягких мод в окрестности структурных переходов.

В. А. Онищук

ислѣ.
динац
чиос

IX-5319

SrTiO_3 , Klu F₃ (Ttx)

Rushworth A.J., Ryan J.F.,
Solid State Commun.,
1976, 18, n9-10, 1239-1241

CA, 1976, 85, n8, 57, 8304



(6)

B.I - 6'66.

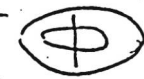
1976

K₂MnF₄(T_{Neel})

Van der Wal A.J., Schulte B., De Wijn H.W.,
Magn. Reson. Relat. Phenom., Proc. Congr. Ampere,
19th, 1976, 483-6

Nuclear relaxation of fluorine-19 nuclei in
the two-dimensional antiferromagnet dipotassium
tetrafluoromanganate.

C.A. 1977, 86, N26, 194414K

5  4

$K_3(MnO_4)_2$

1977

22 Б914: К вопросу о существовании $K_3(MnO_4)_2$ в качестве промежуточной фазы при термическом разложении перманганата калия. Болдырев В. В., Воронин А. П., Неволина Т. А., Марусин В. В. «Ж. неорг. химии», 1977, 22, № 8, 2179—2182.

Методом рентгенофазового анализа подтвержден сделанный ранее вывод о том, что промежут. продуктом термич. разложения перманганата калия является $K_3(MnO_4)_2$, к-рый превращается в манганат калия.

Резюме
исследования состава

ян. 1977 № 22

MnF_2 , KMnF_3 (T_m) BX-930 1977

Dozmann E., Copley J. R. D.,
Jaccarino V.

J. Phys. C; Solid State Phys., 1977, 10, NIS,
2767-2771 (ann.)

Temperature dependence of the MnF_2 and KMnF_3
lattice parameters from room temperature to
the melting point.

Rec.
Pittsburgh, 1978 ← 5 (P), Mn
46399

1944

K₂MnF₆

Hoppe R., et al

Kfuerst.
CIP-PA

Z. Anorg. Allg. Chem.
1944, 436, 65-74

(Cst. $\text{Cs}_2\text{MnF}_6 \cdot \frac{1}{2}$)

K₂MnF₄

1977

9 Б458. . . Намагниченность примесного двумерного
тейзенберговского антиферромагнетика $K_2Mn_{1-x}Ni_xF_4$.
Luijk J. A. van, Twigt W., Verhaak M. T. C. M.,
Wijn H. W. de. Magnetization of the impure 2d Hei-
senberg antiferromagnet $K_2Mn_{1-x}Ni_xF_4$. «J. Magn. and
Magn. Mater.», 1977, 6, 120—121 (англ.)

Fe₂

Для квазиидеального двумерного антиферромагнетика K_2MnF_4 ($T_N = 42,1^\circ K$), содержащего небольшую (~2%) примесь ионов Ni^{2+} при низких т-рах исследована подрешеточная намагниченность, связанная с матрицей и примесными ионами. Измерения выполнены методом спинового эха на ядрах ^{19}F , расположенных между плоскостями, содержащими магнитные атомы. Эксперимент проводился на низкочастотной зеемановской компоненте при фиксированной частоте спектрометра (~180 Мгц) в магнитном поле, параллельном оси с кристалла. Установлено, что в спектре наблюдается интенсивная линия и ряд слабых пиков, отнесенные к далеким и близким к примеси ионам ^{19}F соотв. Интенсивная линия, положение к-рой связано с величиной подрешеточной намагниченности матрицы, при повышении т-ры сдвигается в сильные поля относитель-

X. 1978
VG

но ее положения в чистом K_2MnF_4 . Сделан вывод, что в отличие от 3-мерных магнетиков, для 2-мерного магнетика K_2MnF_4 наличие примеси приводит к повышению подрешеточной намагниченности матрицы. Тривиальная зависимость подрешеточной намагниченности матрицы вплоть до $26^{\circ}K$ хорошо описывается теорией 2-мерных спиновых волн при значении обменного параметра $J/k = -8,23 \pm 0,08^{\circ}K$ и энергетич. щели $\varepsilon/k = 7,8 \pm 0,2^{\circ}K$ (при $0^{\circ}K$). Положения слабых пиков в спектре сопоставлены с рассчитанными при учете дипольных полей.

Ю. В. Ракитин

ресь
амик
во

9 в 459. Двухмагионное комбинационное рассеяние
в «квадратном» двухслойном антиферромагнетике
 $K_3Mn_2F_7$. Po1 A. van der Thurlings M. P. H.,
Wijn H. W. de. Two-Magnon Raman scattering in the
quadratic double-layer antiferromagnet $K_3Mn_2F_7$. «J.
Magn. and Magn. Mater.», 1977, 6, 122—123 (англ.)

105

Для двухслойного антиферромагнетика с квадратной решеткой $K_3Mn_2F_7$ (имеющего магнитную структуру, промежуточную между 2-мерной структурой K_2MnF_4 и 3-мерной структурой $KMnF_3$) при т-рах вплоть до точки Нееля $T_N = 58^\circ K$ изучено двухмагионное комбинац. рассеяние. Определена т-рная зависимость энергии максимума поглощения и ширины линии спектров КР. Проведено сравнение эксперим. данных с результатами расчета, выполненного в рамках модели, учитывающей обменное взаимодействие между ближайшими соседями и поле анизотропии, вызывающей упорядочение системы. Решение этого модельного гамильтонiana, полученное методом функций Грина, дает 2 ветви двухкратно вырожденных спиновых волн. Найдено, что учет рассеяния на обоих ветвях магионов приводит к худшему согласию с эксперим. данными по КР, чем учет рассеяния только на нижней ветви. Особенно велико расхождение в области низких т-р. Обсуждены причины уменьшения вклада верхней ветви магионов.

Ю. В. Ракитин

Ттг

2. 1978

нг

1977

1793

БК

$K_2 Si_2 (PO_3)_4 \cdot Si_2 (PO_3)_2$ (T_{min}) 1977

Радкина И.Г., Маргариросова Г.В.,
Буханова Г.Я. BX-1197

Изб. Сев.-Кавказ. Наук. Центр. Бюл. штади.

Естествоисп. Н., 1977, №3, 54-56

Фазо-быстро меняющиеся в системе $K_2 Si_2 (PO_3)_4$ -
Фазы Камни и зернистые состояния (III).

РДН №42, 1978

125903

○ 5 Ⓢ

1977

KMnF₃

39

15 Б975. Доказательство нового, вызванного напряжениями фазового перехода в KMnF₃. Strauß E., Riederer H. J. Evidence for a new, stress-induced phase transition in KMnF₃. «Solid State Communns», 1977, 21, № 5, 429—432 (англ.)

Исследованы эмиссионные и адсорбц. спектры при 1,7° K, а также магнитная восприимчивость монокрист. KMnF₃ (I), сжимаемого одноосными напряжениями вдоль псевдокубич. осей [100], [110] и [111]. Показано, что под действием напряжений происходит сдвиг спектральных линий без их расщепления. При достижении напряжениями крит. значения происходит резкое изменение спектров, связанное с фазовым превращением. Обнаружено, что сжатие вдоль [111] не приводит к фазовому переходу. Высказано предположение о принадлежности превращения к переходам первого рода. Эксперим. данные объяснены с точки зрения изменения степени тетрагональных искажений в новой фазе, вызванной напряжениями. Механизм превращения в I отличается от аналогичного перехода в SrTiO₃. Г. Л. Апарников

Ttγ

X. 1977
n 15

UlnCl₂, Cs₂UlnBr₄, CsUlnBr₃, 1977

UlnBr₂, R₂UlnBr₄, R₃UlnBr₃ (T_m , ΔH_f , T_h)

Cs_{1/2}Uln(Cl)_{1/2}, CsUlnCl₃, Cs₂Uln(Cl), Cs₃Uln(Cl₅)

R₂Uln(Cl₃), R₃Uln(Cl_{3/2}), K₂UlnCl₃, K_{3/2}Uln(Cl_{3/2}),

K₄Uln(Cl₆), Na₂Uln(Cl_{3/2}), Na₃Uln(Cl₃), Na₄Uln(Cl₃), Cs₃UlnBr₃

K₂UlnBr₃, R₃UlnBr₆, K₃UlnBr₃, K₄UlnBr₆ (ΔH_f)

Seifert H.-J., Flöhr G

Z. anorg. und allg. Chem., 1977, 436, 1/2, 244-252 (Herr),
lösungsstabilitätsmetrische Messungen an Doppelchloriden
und -bromiden des zwvwweidigen Mangans BX-1113

Publ. Num. 1978

446872

2018 p. 12

E 5, M 90

$K_2 Mn F_4$

1977

88: 31273n Magnetization of the impure 2D Heisenberg antiferromagnet potassium manganese nickel fluoride ($K_2Mn_{1-x}Ni_xF_4$). Van Luijk, J. A.; Twigt, W.; Verhaak, M. T. C. M.; De Wijn, H. W. (Fys. Lab., Rijksuniv. Utrecht, Utrecht, Neth.). *J. Magn. Magn. Mater.* 1977, 6, 120-1 (Eng). Spin-echo ^{19}F NMR techniques were used to investigate the impurity-assocd. and host magnetizations of the Heisenberg antiferromagnet $K_2Mn_{1-x}Ni_xF_4$ ($x = 0.02$) in an external field along the c axis. The host sublattice magnetization appears to be higher than in undiluted K_2MnF_4 ($T_N = 42.1$ K), in contrast to analogous 3-dimensional systems. Up to 26 K, the temp. dependence of the host magnetization may be described in terms

(T_c)

C.A. 1978, 88, N4

1978

BX-1274

K₂Cu_{1-x}Mn_xF₄ (Tcure)

Dance G.M., Yoshizawa Y., Hira-
kawa K.,

Mater Res. Bull. 1978, 13(11), 1111-16

Ferromagnetic properties of the
potassium copper manganese fluoride
system...
C.A. 1979, 90, N4, 33071K

Б (cp)

1948

TlMnCl₃

KMnCl₃

(Tc)

(+)

2.1948, N23

23 Б648. Слабый ферромагнетизм в соединениях AMnCl₃. Федосеева Н. В., Спевакова И. П., Безносиков Б. В. «Резонанс. и магнит. свойства магнитодиэлектриков». Красноярск, 1978, 206—221

В широком интервале т-р проведено нейтронографич. исследование и измерена статич. магнитная восприимчивость (МВ) поли- и монокрист. образцов TlMnCl₃ (I) и KMnCl₃ (II) со структурой перовскита, к-рые при понижении т-ры претерпевают ряд последовательных структурных фазовых переходов, сопровождающихся тетрагон. и ромбич.искажениями. На основе анализа нейтронографич. данных установлено, что в области низких т-р ($\sim 80^{\circ}\text{K}$) магнитное упорядочение I и II соответствует G-типу. МВ I при т-рах 160—235°К описывается законом Кюри-Вейсса с постоянными Кюри и Вейсса $C=5,17$ град/моль, $0=-259^{\circ}\text{K}$. Выше 235°К наклон кривой меняется вследствие фазового перехода. Для II МВ при т-рах 130—300°К также описывается этим законом: $C=4,08$ град/моль, $0=$

= -122° К. Магнитные св-ва I и II при низких т-рах (ниже 110,5 и $99,5^{\circ}$ К соотв.) обнаруживают особенности, характерные для антиферромагнетиков со слабым ферромагнетизмом. Выполнены исследования на магнитности монодоменизированных внешним давл. кристаллов I и II. Установлено, что слабый ферромагнетизм I обусловлен как антисимметричным обменом Дзялошинского-Мория, так и одноионной анизотропией. Определены величины спонтанного магнитного момента (20 ед. СГСМ/моль) перпендикулярной восприимчивости ($1,2 \cdot 10^{-2}$ см³/моль) и эффективного поля Дзялошинского (1,6 кэрстед) для I при 80° К.

В. М. Новоторцев

даем
чнос

KNiF₃, NaNiF₃, KAl₂F₃, BaAl₂F₄ | 1978

RbCeF₃, Cs₂PbF₃ (Cs)(SrF₂) BX-1513

Бураков Ю.П., Козырев А.Н., Шемяков Г.С.,

Венгер Р.А., Венгер А.А., Шемяков С.В.

С-15 Вест. Сибноз. по химии неорг. пропуск
Днепропетровск, 1978". №1, 1978, 94.

Изучение методом ИК-спектров
изображений некоморфных фазовых промежуточных
промежуточных структур

РДН №4, 1978

175344

5.9

KMnF_3

BX-1511

1978

18 Б738. Масс-спектрометрическое определение эн-
тальпий разрыва связей $M-\text{MnF}_3$, где $M=\text{Li}, \text{Na}, \text{K}$.
Губаревич В. Д., Сидоров Л. Н. «5-ый Все-
симвоз. по химии неорган. фторидов, Днепропетровск,
1978». М., 1978, 93

Эффузионным методом Кнудсена с масс-спектраль-
ным анализом продуктов испарения исследована газо-
воздушная фаза бинарных

и Нр-цис

дн. LiMnF_3

田



2. 1978, N 18

K₂Mn₂(SO₄)₃

1978

88: 113577d X-ray study of the phase transition in potassium manganese sulfate K₂Mn₂(SO₄)₃. Hikita, Tomoyuki; Chubachi, Yoshiki; Ikeda, Takuro (Fac. Eng., Tohoku Univ., Sendai, Japan). *J. Phys. Soc. Jpn.* 1978, 44(2), 525-8 (Eng). By x-ray diffraction together with optical observation of domains, the space group of K₂Mn₂(SO₄)₃ was detd. in both the high- and low-temp phases. K₂Mn₂(SO₄)₃ has the space groups P2₁3 and P2₁2₁2₁ at room temp. and at -82°, resp. The lattice const. decreases almost linearly with decreasing temp. in the high temp. phase and splits into 3 orthorhombic axes at -72°. The lattice consts. in the low-temp. phase also decrease linearly with decreasing temp.

Ttr

C.A. 1978, 88, N16

KMnF₃

1978

90: 15551n AFMR in potassium manganese(II) fluoride near T_N and T_C; new experimental results. Jakubowski, P. (Inst. Phys., Silesian Univ., Katowice, Pol.). *Acta Phys. Pol. A* 1978, A54(4), 397-409 (Eng). The AFMR spectra of KMnF₃ single crystals was measured with high-temp. resoln. near the Neel and Curie temps. A KMnF₃ crystal undergoes structure inversion at temp. $T_x = T_N - 0.5$ K, from tetragonal with c/a < 1 to tetragonal with c/a > 1. The 1st-order structural phase transition at $T_s \approx 81$ K strongly depends on the size of crystallites or crystallog. domains. The Curie temp. T_C cannot be identified with this temp. T_s.

Ter

C.A., 1979, 90, N2

NaNO₂, KMnF₃ (T_g) BX-1486 1978

Lukasiewicz K., Kucharczyk D.,
Malinowski M., Pietraszko A.

Krist. und Techn., 1978, 13, NS, 561-567 (GHIN.)

New model of the bond diffractometer for
precise determination of lattice parameters and
thermal expansion of single crystals..

PKH Warszawa, 1979

25420



5 CP

5

1948

$K_3 Mn_2 F_7$

90: 65688h Neutron scattering from the Heisenberg double-layer antiferromagnet potassium manganese fluoride ($K_3Mn_2F_7$). Van Uijen, C. M. J.; De Wijn, H. W.; Frikkee, E. (Fys. Lab., Rijksuniv. Utrecht, Utrecht, Neth.). *J. Phys., Colloq. (Orsay, Fr.)* 1978, (6, Vol. 2), 755-6 (Eng). The magnetic structure, the sublattice magnetization, the longitudinal susceptibility, and the correlation length in the quadratic Heisenberg double-layer antiferromagnet $K_3Mn_2F_7$ ($T_N = 53.3$ K) are examd. by neutron diffraction. The phase transition is strictly 2-dimensional.

T_{c2} .

CA. 1949, 99, N8

К.Иллэз
Р.Миллэз
Х.Миллэз
В.Миллэз

44°
45°

3 Б844. Изучение термодинамики комплексообразования в газовой фазе бинарных солевых систем на основе хлористого марганца. Бурылев Б. П., Починок Т. Б., Миронов В. Л. «8-я Всес. конф. по калориметрии и хим. термодинам., Иваново, 1979. Тез. докл. II-ПКТМБ», Иваново, 1979, 335.

Измерено давл. насыщ. пара и брутто-состава пара в системах хлористого марганца с хлоридами щел. и щел.-зем. металлов. Предложен метод расчета состава паров фазы на основании сведений о димеризации и комплексообразовании в паре сильно взаимодействующих систем, а также измерений активности компонентов в жидк. фазе. Определенные парц. давл. индивидуальных форм применялись для расчета констант, энталпий и энтропий диссоциации комплексов, $MMnCl_3$ ($M=K, Rb$) и $MMnCl_4$ ($M=Sr, Ba$). Значения ΔH°_T ккал/моль и ΔS°_T э. е. составили соотв.: $KMnCl_3$ $50,2 \pm 2,5$ и $30,6 \pm 1,8$, $RbMnCl_3$ $44,6 \pm 2,7$ и $30,0 \pm 2,0$, $SrMnCl_4$ $72,0 \pm 3,4$ и $33,2 \pm 3,4$, $BaMnCl_4$ $78,8 \pm 3,7$ и $36,6 \pm 3,1$.

Резюме

(+3) 18

Х. 1980. 13

1949

20 Б849. Расчет термодинамических характеристик комплексообразования в паровой фазе солевых систем. Бурылев Б. П., Починок Т. Б., Миронов В. Л. «Ж. физ. химии», 1979, 53, № 6, 1429—1432

Предложен метод расчета состава паровой фазы бинарных солевых систем. Метод не требует исследования брутто-состава пара. Для иллюстрации применимости к реальным солевым расплавам экспериментально исследован состав паровой фазы в системе $MnCl_2-KCl$ и рассчитан мольный состав паровой фазы в предположении пяти молек. форм известным методом и предлагаемым, а также найдены термодинамич. характеристики диссоциации комплексного соединения $KMnCl_3$, к-рые оказались равными $\Delta H_T^\circ = 50,2 \pm 2,5$ ккал/моль, $\Delta S_T^\circ = 30,6 \pm 1,8$ э. е., что удовлетворительно согласуется с лит. данными.

Автореферат

Х-10398

Х.1949, № 10

1979

KMnCl₃

91: 97611q Calculation of thermodynamic characteristics of complexing in the vapor phase of salt systems. Burylev, B. P.; Pochinok, T. B.; Mironov, V. L. (Kuban. Gos. Univ., Krasnodar, USSR). *Zh. Fiz. Khim.* 1979, 53(6), 1429-32 (Russ). A method was developed for the calcn. of the compn. of a vapor phase above a system. To confirm the results, the compn. of the vapor phase of the system MnCl₂-KCl and the dissociation const. of the complex KMnCl₃ were detd exptl. at 1150-1400 K. Dissociation heat and entropy and vapor pressure were calcd.

Kgcecaes

X - 10398

Q.A. 10799 Q1 N12

1979

KMnF₃)

5 Б873. Определение статических и динамических
характеристик кристалла вблизи перехода второго ро-
да типа смятия, KMnF₃. Гуфан Ю. М., Сад-
ков А. Н. «Физ. тверд. тела», 1979, 21, № 10,
3066—3072

Ttr

Экспериментальные данные по скрытой теплоте
тепловому расширению, неупругому рассеянию ней-
тронов (две точки выше и ниже т-ры перехода) и из-
менению упругих модулей при переходе использова-
ны для восстановления неравновесного термодинамич.
Пт и кинетич. коэф. вблизи т-ры перехода в KMnF₃.
В отличие от пред. подходов учтено, что вблизи пе-
рехода второго рода динамика флуктуаций парамет-
ра перехода описывается ур-ниями Онзагера, а не
Ньютона. В результате получена зависимость мягкой
моды в низкот-рной фазе, полностью совпадающая с
экспериментально полученной методом спектроскопии
комбинац. рассеяния.

Резюме

X. 1980. N° 5

1979

KMnF₃

92: 13839c Determination of static and dynamic characteristics of a crystal near the second order transition of crumple type. Potassium manganese fluoride (KMnF₃). Gufan, Yu. M.; Sadkov, A. N. (Nauchno-Issled. Inst. Fiz., Rostov. Gos. Univ., Rostov, USSR). *Fiz. Tverd. Tela* (Leningrad) 1979, 21(10), 3066-72 (Russ). The nonequil. thermodyn. potential and the kinetic coeffs. near the phase transition of KMnF₃ were detd. from latent heat, thermal expansion, and inelastic neutron scattering. Near the 2nd-order transition, the dynamic fluctuations of the transition parameters are described by Onsager and Newton equations.

(Tr)

C.A.1980.22.12

Klenn F₃

Уборка у Медведева 1979
Чубаревич В.Д. испр.

Klenn F₄

8-й Всеэ. конгр. по
калиоргелектрике и хим.
термодинам., Ивахово,
1979, Тез. докл. II-ПКТБМ,
Ивахово, 1979, 331

ΔH°

См Klenn F₃; ?

KMnF₃

7 E795. Параметр решетки KMnF₃ в температурном интервале 150–300° К. Latice constant of KMnF₃ over a temperature range 150 to 300 K. Kawaminami Masaru. «Кагосима дайгаку рика Хококу, Sci. Repts. Kagoshima Univ.», 1979, № 28, 67–74 (англ.)

1979

Рентгенодифрактометрическим методом двойного кристалл-спектрометра определена температурная зависимость периода решетки KMnF₃ в интервале 150–300° К. Коэф. термич. расширения KMnF₃ в области 200–300° К оказался постоянным и равным $1,58 \cdot 10^{-5}$ К⁻¹. Переход при 186° К идентифицирован как фазовый переход первого рода; переход из кубической в тетраг. модификацию при 188° К обусловлен вращением октаэдров MnF₆. Изменение параметров решетки ниже т.ры перехода объяснено непрерывным изменением угла вращения октаэдров MnF₆ вокруг оси с. В. П. Михальченко

φ 1980 № 7

KMnSO₄

1979

90: 178360p Hydrostatic pressure effect on the phase transition of potassium manganese sulfate. Ikkita, Tomoyuki; Kitabatake, Makoto; Ikeda, Takuro (Fac. Eng., Tohoku Univ., Sendai, Japan). *J. Phys. Soc. Jpn.* 1979, 46(2), 695-6 (Eng). The effect was studied up to 7.6 kbar by measurements of the dielec. const. The transition temp. rises linearly with increasing pressure at $6.86^\circ/\text{kbar}$. The latent heat and the transition entropy are 456 cal/mol and 2.40 cal/mol-deg, resp.

Fe, other

C.A. 1979, 90, N22

KMnF₃

1979

Kleemann, W., et al.

Physica B+C (Amsterdam)
1979, 94(2-3), 195-55

(T_{tr})

all. Rb Cd F₃-I

$K_2Mn_xFe_{1-x}F_4$

1979

$Co_xFe_{1-x}Cl_2 \cdot 2H_2O$

paramagnetic
glasses.

91: 1562. Magnetic properties of solid solution $Co_xFe_{1-x}Cl_2 \cdot 2H_2O$. Matsubara, Fumitaka; Inawashiro, Sakari (Dep. Eng. Sci., Tohoku Univ., Sendai, Japan). *J. Phys. Soc. Jpn.* 1979, 46(6), 1740-7 (Eng). The magnetic properties and the phase diagram of the solid soln. $Co_xFe_{1-x}Cl_2 \cdot 2H_2O$ were analyzed by a model Hamiltonian with the mean field approxn. The results agree with those of expts. The new phase which is found for $x \sim 0.5$ at low temps. is the oblique antiferromagnet predicted by M. and I. (1977). A comment on the phase diagram of $K_2Mn_xFe_{1-x}F_4$ is given.

⑦ 17



C.A. 1979, 91, N8

0MM. 7180; BX-1780

1974

Na₂O₃, KMnO₄, MnCl₂ (Cp_{aq})

Spitzer Y.Y., Olofsson I.V., Sirzhp
Hepler L.F.,
P.

Thermochim. Acta 1979, 28(1),
155-60.

Apparent molar heat capacities
C.A. 1979, 90, N10, 773742 and, 5, B (G)